

(19)



Евразийское
патентное
ведомство

(21)

202392094

(13)

A1

(12) ОПИСАНИЕ ИЗОБРЕТЕНИЯ К ЕВРАЗИЙСКОЙ ЗАЯВКЕ

(43) Дата публикации заявки
2023.11.14

(51) Int. Cl. A61K 31/397 (2006.01)
A61K 31/437 (2006.01)
A61K 31/502 (2006.01)
A61K 31/519 (2006.01)
A61P 35/00 (2006.01)
A61P 35/02 (2006.01)

(22) Дата подачи заявки
2015.04.07

(54) ЛЕЧЕНИЕ В-КЛЕТОЧНЫХ ЗЛОКАЧЕСТВЕННЫХ НОВООБРАЗОВАНИЙ С
ПРИМЕНЕНИЕМ КОМБИНАЦИИ ИНГИБИТОРОВ JAK И PI3K

(31) 61/976,815

(72) Изобретатель:
Шерле Пегги А., Лю Сюэсун (US)

(32) 2014.04.08

(33) US

(74) Представитель:

(62) 202191009; 2015.04.07

Медведев В.Н. (RU)

(71) Заявитель:

ИНСАЙТ ХОЛДИНГС
КОРПОРЕЙШН (US)

(57) Настоящее изобретение относится к способам лечения В-клеточных злокачественных новообразований путем применения комбинации ингибиторов JAK1 и/или JAK2 и ингибиторов PI3Kδ.

202392094

A1

A1

202392094

ЛЕЧЕНИЕ В-КЛЕТОЧНЫХ ЗЛОКАЧЕСТВЕННЫХ НОВООБРАЗОВАНИЙ С ПРИМЕНЕНИЕМ КОМБИНАЦИИ ИНГИБИТОРОВ JAK И PI3K

Эта заявка заявляет приоритет по заявке 61/976815, поданной 8 апреля 2014 г., включенной в полном объеме в данный документ посредством ссылки.

ОБЛАСТЬ ИЗОБРЕТЕНИЯ

Настоящее изобретение относится к способам лечения В-клеточных злокачественных новообразований с применением комбинации ингибиторов JAK1 и/или JAK2 и ингибиторов PI3K.

УРОВЕНЬ ТЕХНИКИ

В-клеточный рецептор (BCR) присутствует как на нормальных, так и на большинстве злокачественных В-клеток. Вовлечение BCR обеспечивает важные сигналы выживания, и прерывание сигнала BCR может приводить к гибели В-клетки. Исследования, проводившиеся с миРНК для ингибирования экспрессии BCR, продемонстрировали, что конститутивный сигнал со стороны BCR является критичным для выживания и пролиферации В-клеточных лимфом человека. Первичная роль сигнала BCR в этих клетках состоит в активации тирозинкиназы селезенки (Syk), которая, в свою очередь, приводит к нескольким последующим событиям, способствующих выживанию клетки, включая активацию тирозинкиназы Брутона (BTK), фосфатидилинозитол-3-киназы (PI3K) и AKT. Было продемонстрировано, что многие В-клеточные злокачественные новообразования, включая диффузную крупноклеточную В-клеточную лимфому (DLBCL), особенно зависят от сигналов выживания BCR, о чем свидетельствует их чувствительность к генетическому и фармакологическому ингибированию компонентов сигнала BCR *in vitro*. Было продемонстрировано, что клетки DLBCL используют PI3K, что усиливает антиапоптозный сигнал NF-кВ и сигнал выживания, и ингибирование путей PI3K/AKT усиливается ингибированием NF-кВ при уничтожении линий клеток DLBCL *in vitro*.

Нарушенная активация JAK путем продуцирования цитокинов и факторов роста также связана с повышенной пролиферацией и выживанием злокачественных клеток во многих типах опухолей. JAK активируют многие последующие пути, участвующие в пролиферации и выживании злокачественных клеток, включая STAT, группу важных латентных факторов транскрипции. Клинически значимым является то, что уровень ИЛ-10 и ИЛ-6 в сыворотке, которые сигнализируют через JAK, оказался повышенным у пациентов с DLBCL по сравнению с нормальными контрольными субъектами (Gupta et al, 2012). Кроме того, пациенты с высоким уровнем ИЛ-10 в сыворотке демонстрировали

более короткую бессобытийную выживаемость (Gupta et al, 2012). Было продемонстрировано, что в пределах JAK-семейства киназ JAK1 взаимодействует с JAK2, JAK3 и TYK2 и играет доминирующую роль в опосредовании сигнала многих воспалительных цитокинов, включая ИЛ-6, ИЛ-10 и интерферон.

При DLBCL активация сигнала JAK происходит как через аутокринные, так и через паракринные механизмы. В опухолевых клетках сигнал BCR ведет к повышенному производству ИЛ-6 и ИЛ-10 через активацию путей NF-кБ (Lam et al, 2008). Подгруппа разновидностей DLBCL характеризуется как имеющая высокий уровень экспрессии STAT3, ИЛ-6 и/или ИЛ-10, и было продемонстрировано, что ингибирование JAK в этих линиях клеток DLBCL является цитотоксичным и усиливается ингибиторами NF-кБ. Помимо активации путей JAK/STAT через аутокринные пути, стромальный компартмент также может обеспечивать источник этих цитокинов паракринным способом (Hodge et al, 2005).

По этим причинам существует потребность в разработке новых видов терапии, которые могут применяться для лечения В-клеточных злокачественных новообразований, таких, как DLBCL. Это изобретение касается этой и других потребностей.

ОПИСАНИЕ ФИГУР

ФИГ. 1А демонстрирует вестерн-блоттинг на наличие ИЛ6 и ИЛ10 для различных линий клеток DLBCL.

ФИГ. 1В демонстрирует вестерн-блоттинг на актин и p-Stat3 для клеток Пфейффера, обработанных ИЛ6 или ИЛ10.

ФИГ. 2А демонстрирует % ингибирования в анализе пролиферации клеток для клеток Пфейффера в зависимости от концентрации Соединения 28 с основой (ДМСО), ДМСО+ИЛ10 и ДМСО+ИЛ10+руксолитиниб.

ФИГ. 2В демонстрирует % ингибирования в анализе пролиферации клеток для клеток Пфейффера в зависимости от концентрации Соединения 28 с основой (ДМСО), ДМСО+ИЛ10 и ДМСО+ИЛ10+Соединение 7.

ФИГ. 3 демонстрирует % ингибирования в анализе пролиферации клеток для клеток HBL-1 в зависимости от концентрации Соединения 28 с основой (ДМСО), ДМСО+ИЛ10 и ДМСО+ИЛ10+руксолитиниб.

ФИГ. 4 демонстрирует вестерн-блоттинг клеток Пфейффера после обработки основой (ДМСО), руксолитинибом, Соединением 28 или Соединением 28 и руксолитинибом с ИЛ10 или без него.

ФИГ. 5 демонстрирует вестерн-блоттинг клеток Пфейффера после обработки основой (ДМСО), Соединением 7, Соединением 28 или Соединением 28 и Соединением 7

с ИЛ10 или без него.

ФИГ. 6 демонстрирует % ингибирования в анализе пролиферации клеток для клеток Пфейффера в зависимости от концентрации Соединения 28 с основой (ДМСО), ДМСО+ИЛ10 и ДМСО+ИЛ10+Соединение 16.

ФИГ. 7 демонстрирует окрашивание Аннексином-V клеток Пфейффера, обработанных Соединением 28 +/- Соединением 16, с демонстрацией синергетической индукции апоптоза в результате комбинированной терапии.

ФИГ. 8 демонстрирует вестерн-блоттинг клеток Пфейффера после обработки Соединением 28 +/- Соединением 16 с демонстрацией воздействия на STAT3 и pAKT.

КРАТКОЕ ОПИСАНИЕ СУЩНОСТИ ИЗОБРЕТЕНИЯ

Данная заявка предлагает способ лечения В-клеточного злокачественного новообразования у пациентов, которые в этом нуждаются, включающий введение пациенту: (а) ингибитора JAK1 и/или JAK2; и (б) ингибитора Р13Кδ.

Данная заявка также предлагает способ лечения заболевания, выбранного из диффузной крупноклеточной В-клеточной лимфомы, хронического лимфоцитарного лейкоза (CLL), неходжкинской лимфомы, лейкоза ворсистых клеток, лимфомы из клеток зоны мантии, мелкоклеточной лимфоцитарной лимфомы, фолликулярной лимфомы, лимфоплазмоцитарной лимфомы, экстренодальной лимфомы из клеток маргинальной зоны, лимфомы Ходжкина, лимфомы Беркитта, макроглобулинемии Вальденстрёма, пролимфоцитарного лейкоза, острого лимфобластного лейкоза, миелофиброза, лимфомы лимфатической ткани слизистых оболочек (MALT), медиастинальной (тимусной) крупноклеточной лимфомы, лимфоматоидного грануломатоза, лимфомы маргинальной зоны селезенки, первичной выпотной лимфомы, внутрисосудистой крупноклеточной В-клеточной лимфомы, плasmоклеточного лейкоза, экстрамедуллярной плазмацитомы, тлеющей миеломы (также известной как бессимптомная миелома), моноклональной гаммапатии неясного генеза (MGUS), активированной В-клеточноподобной (ABC) диффузной крупноклеточной В-клеточной лимфомы (ABC-DLBCL) и лимфомы В-клеток зародышевого центра (GCB) – диффузной крупноклеточной В-клеточной лимфомы (GCB-DLBCL) у пациентов, которые в этом нуждаются, включающий введение пациенту: (а) ингибитора JAK1 и/или JAK2; и (б) ингибитора Р13Кδ.

В некоторых вариантах реализации способов ингибитор JAK1 и/или JAK2 выбран из:

3-цикlopентил-3-[4-(7Н-пирроло[2,3-d]пиrimидин-4-ил)-1Н-пиразол-1-ил]пропаннитрила;

3-[1-(6-хлорпиридин-2-ил)пирролидин-3-ил]-3-[4-(7Н-пирроло[2,3-d]пиrimидин-4-ил)-1Н-пиразол-1-ил]пропаннитрила;

3-(1-[1,3]оксазоло[5,4-b]пиридин-2-илпирролидин-3-ил)-3-[4-(7Н-пирроло[2,3-d]пиrimидин-4-ил)-1Н-пиразол-1-ил]пропаннитрила;

4-[(4-{3-циано-2-[4-(7Н-пирроло[2,3-d]пиrimидин-4-ил)-1Н-пиразол-1-ил]пропил}пиперазин-1-ил)карбонил]-3-фторбензонитрила;

4-[(4-{3-циано-2-[3-(7Н-пирроло[2,3-d]пиrimидин-4-ил)-1Н-пиррол-1-ил]пропил}пиперазин-1-ил)карбонил]-3-фторбензонитрила;

{1-{1-[3-Фтор-2-(трифторметил)изоникотиноил]пиперидин-4-ил}-3-[4-(7Н-пирроло[2,3-d]пиrimидин-4-ил)-1Н-пиразол-1-ил]азетидин-3-ил}ацетонитрила;

4-{3-(цианометил)-3-[4-(7Н-пирроло[2,3-d]пиrimидин-4-ил)-1Н-пиразол-1-ил]азетидин-1-ил}-N-[4-фтор-2-(трифторметил)фенил]пиперидин-1-карбоксамида;

[3-[4-(7Н-пирроло[2,3-d]пиrimидин-4-ил)-1Н-пиразол-1-ил]-1-(1-{[2-(трифторметил)пиrimидин-4-ил]карбонил}пиперидин-4-ил)азетидин-3-ил]ацетонитрила;

[транс-1-[4-(7Н-пирроло[2,3-d]пиrimидин-4-ил)-1Н-пиразол-1-ил]-3-(4-{[2-(трифторметил)пиrimидин-4-ил]карбонил}пиперазин-1-ил)цикlobутил]ацетонитрила;

{транс-3-(4-{[4-[(3-гидроксиазетидин-1-ил)метил]-6-(трифторметил)пиридин-2-ил]окси}пиперидин-1-ил)-1-[4-(7Н-пирроло[2,3-d]пиrimидин-4-ил)-1Н-пиразол-1-ил]цикlobутил}ацетонитрила;

{транс-3-(4-{[4-{[(2S)-2-(гидроксиметил)пирролидин-1-ил]метил}-6-(трифторметил)пиридин-2-ил]окси}пиперидин-1-ил)-1-[4-(7Н-пирроло[2,3-d]пиrimидин-4-ил)-1Н-пиразол-1-ил]цикlobутил}ацетонитрила;

{транс-3-(4-{[4-{[(2R)-2-(гидроксиметил)пирролидин-1-ил]метил}-6-(трифторметил)пиридин-2-ил]окси}пиперидин-1-ил)-1-[4-(7Н-пирроло[2,3-d]пиrimидин-4-ил)-1Н-пиразол-1-ил]цикlobутил}ацетонитрила;

4-(4-{3-[(диметиламино)метил]-5-фторфенокси}пиперидин-1-ил)-3-[4-(7Н-пирроло[2,3-d]пиrimидин-4-ил)-1Н-пиразол-1-ил]бутаннитрила;

5-{3-(цианометил)-3-[4-(7Н-пирроло[2,3-d]пиrimидин-4-ил)-1Н-пиразол-1-ил]азетидин-1-ил}-N-изопропилпиразин-2-карбоксамида;

4-{3-(цианометил)-3-[4-(7Н-пирроло[2,3-d]пиrimидин-4-ил)-1Н-пиразол-1-ил]азетидин-1-ил}-2,5-дифтор-N-[(1S)-2,2,2-трифтор-1-метилэтил]бензамида;

5-{3-(цианометил)-3-[4-(1Н-пирроло[2,3-b]пиридин-4-ил)-1Н-пиразол-1-ил]азетидин-1-ил}-N-изопропилпиразин-2-карбоксамида;

{1-(цис-4-{[6-(2-гидроксиэтил)-2-(трифторметил)пиrimидин-4-ил]окси}циклогексил)-3-[4-(7Н-пирроло[2,3-d]пиrimидин-4-ил)-1Н-пиразол-1-

ил]азетидин-3-ил}ацетонитрила;

{1-(цис-4-{[4-[(этиламино)метил]-6-(трифторметил)пиридин-2-ил]окси}циклогексил)-3-[4-(7Н-пирроло[2,3-d]пиrimидин-4-ил)-1Н-пиразол-1-ил]азетидин-3-ил}ацетонитрила;

{1-(цис-4-{[4-(1-гидрокси-1-метилэтил)-6-(трифторметил)пиридин-2-ил]окси}циклогексил)-3-[4-(7Н-пирроло[2,3-d]пиrimидин-4-ил)-1Н-пиразол-1-ил]азетидин-3-ил}ацетонитрила;

{1-(цис-4-{[4-{[(3R)-3-гидроксипирролидин-1-ил]метил}-6-(трифторметил)пиридин-2-ил]окси}циклогексил)-3-[4-(7Н-пирроло[2,3-d]пиrimидин-4-ил)-1Н-пиразол-1-ил]азетидин-3-ил}ацетонитрила;

{1-(цис-4-{[4-{[(3S)-3-гидроксипирролидин-1-ил]метил}-6-(трифторметил)пиридин-2-ил]окси}циклогексил)-3-[4-(7Н-пирроло[2,3-d]пиrimидин-4-ил)-1Н-пиразол-1-ил]азетидин-3-ил}ацетонитрила;

{транс-3-(4-{[4-{[(1S)-2-гидрокси-1-метилэтил]амино}метил}-6-(трифторметил)пиридин-2-ил]окси}пиперидин-1-ил)-1-[4-(7Н-пирроло[2,3-d]пиrimидин-4-ил)-1Н-пиразол-1-ил]цикlobутил}ацетонитрила;

{транс-3-(4-{[4-{[(2R)-2-гидроксипропил]амино}метил}-6-(трифторметил)пиридин-2-ил]окси}пиперидин-1-ил)-1-[4-(7Н-пирроло[2,3-d]пиrimидин-4-ил)-1Н-пиразол-1-ил]цикlobутил}ацетонитрила;

{транс-3-(4-{[4-{[(2S)-2-гидроксипропил]амино}метил}-6-(трифторметил)пиридин-2-ил]окси}пиперидин-1-ил)-1-[4-(7Н-пирроло[2,3-d]пиrimидин-4-ил)-1Н-пиразол-1-ил]цикlobутил}ацетонитрила;

{транс-3-(4-{[4-(2-гидроксиэтил)-6-(трифторметил)пиридин-2-ил]окси}пиперидин-1-ил)-1-[4-(7Н-пирроло[2,3-d]пиrimидин-4-ил)-1Н-пиразол-1-ил]цикlobутил}ацетонитрила;

((2R,5S)-5-{2-[(1R)-1-гидроксиэтил]-1Н-имидаzo[4,5-d]тиено[3,2-b]пиридин-1-ил}тетрагидро-2Н-пиран-2-ил)ацетонитрила;

4-[3-(цианометил)-3-(3',5'-диметил-1Н,1'Н-4,4'-бипиразол-1-ил)азетидин-1-ил]-2,5-дифтор-N-[(1S)-2,2,2-трифтор-1-метилэтил]бензамида;

и фармацевтически приемлемых солей любого из вышеуказанного соединения.

В некоторых вариантах реализации способов ингибитор РІЗКδ выбран из:

7-(1-(9Н-пурин-6-иламино)этил)-6-(3-фторфенил)-3-метил-5Н-тиазоло[3,2-a]пиrimидин-5-она;

(S)-7-(1-(9Н-пурин-6-иламино)этил)-6-(3-фторфенил)-3-метил-5Н-тиазоло[3,2-a]пиrimидин-5-она;

4-[1-(4-амино-3-метил-1Н-пиразоло[3,4-d]пиrimидин-1-ил)этил]-6-хлор-2-{1-[(2S)-2-гидроксипропил]азетидин-3-ил}-3-метоксибензонитрила;

4-[1-(4-амино-3-метил-1Н-пиразоло[3,4-d]пиrimидин-1-ил)этил]-6-хлор-2-[1-(2-гидроксиэтил)азетидин-3-ил]-3-метоксибензонитрила;

5-{3-[1-(4-амино-3-метил-1Н-пиразоло[3,4-d]пиrimидин-1-ил)этил]-6-циано-2-этокси-5-метилфенил}-N,N-диметилпиридин-2-карбоксамида;

4-{3-[1-(4-амино-3-метил-1Н-пиразоло[3,4-d]пиrimидин-1-ил)этил]-5-хлор-2-этокси-6-фторфенил}пирролидин-2-она; и

N-{1-[5-хлор-8-(3-фторфенил)циннолин-7-ил]этил}-9Н-пурин-6-амина;

4-хлор-3'-фтор-3-метил-6-[1-(9Н-пурин-6-иламино)этил]бифенил-2-карбонитрила; и фармацевтически приемлемых солей любого из вышеуказанного соединения.

Данная заявка также предлагает ингибитор JAK1 и/или JAK2 для применения в комбинации с Р13Кδ ингибитор для лечения В-клеточного злокачественного новообразования или любого из указанных в данном документе заболеваний.

Данная заявка также предусматривает применение ингибитора JAK1 и/или JAK2 и ингибитора Р13Кδ для приготовления медикамента для лечения В-клеточного злокачественного новообразования или любого из указанных в данном документе заболеваний.

ПОДРОБНОЕ ОПИСАНИЕ СУЩНОСТИ ИЗОБРЕТЕНИЯ

Данная заявка предлагает, помимо прочего, способ лечения заболевания, выбранного из диффузной крупноклеточной В-клеточной лимфомы, хронического лимфоцитарного лейкоза (CLL), неходжкинской лимфомы, лейкоза вористых клеток, лимфомы из клеток зоны мантии, мелкоклеточной лимфоцитарной лимфомы, фолликулярной лимфомы, лимфоплазмоцитарной лимфомы, экстраподальной лимфомы из клеток маргинальной зоны, лимфомы Ходжкина, лимфомы Беркитта, макроглобулинемии Вальденстрёма, пролимфоцитарного лейкоза, острого лимфобластного лейкоза, миелофиброза, лимфомы лимфатической ткани слизистых оболочек (MALT), медиастинальной (тимусной) крупноклеточной В-клеточной лимфомы, лимфоматоидного грануломатоза, лимфомы маргинальной зоны селезенки, первичной выпотной лимфомы, внутрисосудистой крупноклеточной В-клеточной лимфомы, плазмоклеточного лейкоза, экстрамедуллярной плазмацитомы, тлеющей миеломы (также известной как бессимптомная миелома), моноклональной гаммапатии неясного генеза (MGUS), активированной В-клеточноподобной (ABC) диффузной крупноклеточной В-клеточной лимфомы (ABC-DLBCL) и лимфомы В-клеток зародышевого центра (GCB) – диффузной крупноклеточной В-клеточной лимфомы (GCB-DLBCL) у пациентов, которые в этом

нуждаются, который включает введение пациенту: (а) ингибитора JAK1 и/или JAK2; и (б) ингибитора Р13Кδ.

В некоторых вариантах реализации, неходжкинской лимфомой является неходжкинская лимфома (NHL) в форме рецидивной или рефрактерной NHL или рецидивирующей фолликулярной NHL.

В некоторых вариантах реализации заболевание представляет собой диффузную крупноклеточную В-клеточную лимфому (DLBCL).

В некоторых вариантах реализации заболевание представляет собой активированную В-клеточноподобную (ABC) диффузную крупноклеточную В-клеточную лимфому (ABC-DLBCL) или лимфому В-клеток зародышевого центра (GCB) – диффузную крупноклеточную В-клеточную лимфому (GCB-DLBCL).

В некоторых вариантах реализации ингибитор JAK1 и/или JAK2 и ингибитор Р13Кδ вводят одновременно.

В некоторых вариантах реализации ингибитор JAK1 и/или JAK2 и ингибитор Р13Кδ вводят последовательно.

В некоторых вариантах реализации ингибитор JAK1 и/или JAK2 являются селективными к JAK1 и JAK1 перед JAK3 и TYK2. В некоторых вариантах реализации ингибитор JAK1 и/или JAK2 является селективным к JAK1 перед JAK2, JAK3 и TYK2. Например, некоторые из описываемых авторами соединений или их фармацевтически приемлемых солей ингибируют JAK1 предпочтительно перед одним или несколькими из JAK2, JAK3 и TYK2. В некоторых вариантах реализации соединения ингибируют JAK1 предпочтительно перед JAK2 (например, имеют соотношение JAK1/JAK2 IC₅₀ >1). В некоторых вариантах реализации соединения или соли являются приблизительно в 10 раз более селективными к JAK1 перед JAK2. В некоторых вариантах реализации соединения или соли являются приблизительно в 3 раза, приблизительно в 5 раз, приблизительно в 10 раз, приблизительно в 15 раз или приблизительно в 20 раз более селективными к JAK1 перед JAK2, согласно расчетам путем измерения IC₅₀ при 1 мМ АТФ (например, см. Пример А).

В некоторых вариантах реализации ингибитор JAK1 и/или JAK2 представляет собой 3-циклопентил-3-[4-(7Н-пирроло[2,3-d]пиrimидин-4-ил)-1Н-пиразол-1-ил]пропаннитрил. В некоторых вариантах реализации ингибитор JAK1 и/или JAK2 представляет собой (3R)-3-циклопентил-3-[4-(7Н-пирроло[2,3-d]пиrimидин-4-ил)-1Н-пиразол-1-ил]пропаннитрил (руксолитиниб; также известный как INCB018424). Руксолитиниб имеет IC₅₀ менее 10 нМ при 1 мМ АТФ (анализ А) для JAK1 и JAK2. 3-Циклопентил-3-[4-(7Н-пирроло[2,3-d]пиrimидин-4-ил)-1Н-пиразол-1-ил]пропаннитрил и

руксолитиниб могут быть получены с применением процедуры, описываемой в заявке США 7,598,257 (Пример 67), поданной 12 декабря 2006 г., которая включена в данное описание путем ссылки в полном объеме. В некоторых вариантах реализации ингибитор JAK1 и/или JAK2 представляет собой соль (3R)-3-цикlopентил-3-[4-(7Н-пирроло[2,3-d]пиридин-4-ил)-1Н-пиразол-1-ил]пропаннитрила с фосфорной кислотой.

В некоторых вариантах реализации ингибитор JAK1 и/или JAK2 представляет собой соединение из Таблицы 1 или его фармацевтически приемлемую соль. Соединения из Таблицы 1 являются селективными ингибиторами JAK1 (селективными перед JAK2, JAK3 и TYK2). Показатели IC₅₀, полученные способом согласно Анализу А при 1 мМ АТФ, показаны в Таблице 1.

Таблица 1

№	Преп.	Название	Структура	JAK 1 IC ₅₀ (нМ)	JAK 2/ JAK 1
1	При- мер 1	((2R,5S)-5-{2-[(1R)-1-гидроксиэтил]-1Н-имиазо[4,5-d]тиено[3,2-b]пиридин-1-ил}тетрагидро-2Н-пиран-2-ил)ацетонитрил		++	>10
2	При- мер 2	4-[3-(цианометил)-3-(3',5'-диметил-1Н,1'H-4,4'-бипиразол-1-ил)азетидин-1-ил]-2,5-дифтор-N-[(1S)-2,2,2-трифтор-1-метилэтил]бензамид		+++	>10
3	US 2010/ 0298334 (При- мер 2) ^a	3-[1-(6-хлорпиридин-2-ил)пирролидин-3-ил]-3-[4-(7Н-пирроло[2,3-d]пиридин-4-ил)-1Н-пиразол-1-ил]пропаннитрил		+	>10
4	US 2010/ 0298334 (При- мер 13с)	3-(1-[1,3]оксазоло[5,4-b]пиридин-2-илпирролидин-3-ил)-3-[4-(7Н-пирроло[2,3-d]пиридин-4-ил)-1Н-пиразол-1-ил]пропаннитрил		+	>10

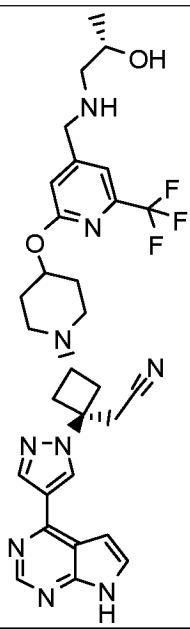
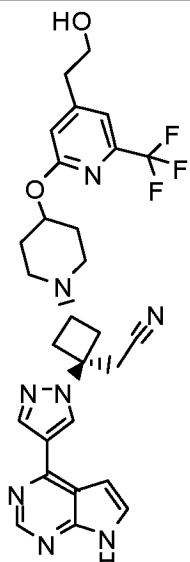
5	US 2011/ 0059951 (При- мер 12)	4-[(4-{3-циано-2-[4-(7Н- пирроло[2,3-д]пиrimидин-4-ил)- 1Н-пиразол-1- ил]пропил}пiperазин-1- ил)карбонил]-3- фторбензонитрил		+	>10
6	US 2011/ 0059951 (При- мер 13)	4-[(4-{3-циано-2-[3-(7Н- пирроло[2,3-д]пиrimидин-4-ил)- 1Н-пиrrол-1- ил]пропил}пiperазин-1- ил)карбонил]-3- фторбензонитрил		+	>10
7	US 2011/ 0224190 (При- мер 1)	{1-{1-[3-Фтор-2- (трифторметил)изоникотиноил]п иперидин-4-ил}-3-[4-(7Н- пирроло[2,3-д]пиrimидин-4-ил)- 1Н-пиразол-1-ил]азетидин-3- ил}ацетонитрил		+	>10

8	US 2011/ 0224190 (При- мер 154)	4-{3-(Цианометил)-3-[4-(7Н- пирроло[2,3-д]пиrimидин-4-ил)- 1Н-пиразол-1-ил]азетидин-1- ил}-N-[4-фтор-2- (трифторметил)фенил]пипериди- н-1-карбоксамид		+	>10
9	US 2011/ 0224190 (При- мер 85)	[3-[4-(7Н-пирроло[2,3- d]пиrimидин-4-ил)-1Н-пиразол- 1-ил]-1-(1-{[2- (трифторметил)пиrimидин-4- ил]карбонил}пиперидин-4- ил)азетидин-3-ил]ацетонитрил		+	>10
10	US 2012/ 0149681 (При- мер 7b)	[транс-1-[4-(7Н-пирроло[2,3- d]пиrimидин-4-ил)-1Н-пиразол- 1-ил]-3-(4-{[2- (трифторметил)пиrimидин-4- ил]карбонил}пиперазин-1- ил)цикlobутил]ацетонитрил		+	>10

11	US 2012/ 0149681 (При- мер 157)	{транс-3-(4-{[4-[(3- гидроксиазетидин-1-ил)метил]- 6-(трифторметил)пиридин-2- ил]окси}пиперидин-1-ил)-1-[4- (7Н-пирроло[2,3-d]пирамидин- 4-ил)-1Н-пиразол-1- ил]цикlobутил}ацетонитрил		+	>10
12	US 2012/ 0149681 (При- мер 161)	{транс-3-(4-{[4-{[(2S)-2- гидроксиметил]пирролидин-1- ил]метил}-6- (трифторметил)пиридин-2- ил]окси}пиперидин-1-ил)-1-[4- (7Н-пирроло[2,3-d]пирамидин- 4-ил)-1Н-пиразол-1- ил]цикlobутил}ацетонитрил		+	>10
13	US 2012/ 0149681 (При- мер 162)	{транс-3-(4-{[4-{[(2R)-2- гидроксиметил]пирролидин-1- ил]метил}-6- (трифторметил)пиридин-2- ил]окси}пиперидин-1-ил)-1-[4- (7Н-пирроло[2,3-d]пирамидин- 4-ил)-1Н-пиразол-1- ил]цикlobутил}ацетонитрил		+	>10
14	US 2012/ 0149682 (При-	4-(4-{3-[(диметиламино)метил]- 5-фторфенокси}пиперидин-1- ил)-3-[4-(7Н-пирроло[2,3- d]пирамидин-4-ил)-1Н-пиразол-		+	>10

	мер 20) ^b	1-ил]бутаннитрил			
15	US 2013/ 0018034 (При- мер 18)	5-{3-(цианометил)-3-[4-(7Н- пирроло[2,3-д]пиrimидин-4-ил)- 1Н-пиразол-1-ил]азетидин-1- ил}-N-изопропилпиразин-2- карбоксамид		+	>10
16	US 2013/ 0018034 (При- мер 28)	4-{3-(цианометил)-3-[4-(7Н- пирроло[2,3-д]пиrimидин-4-ил)- 1Н-пиразол-1-ил]азетидин-1- ил}-2,5-дифтор-N-[(1S)-2,2,2- трифтор-1-метилэтил]бензамиd		+	>10
17	US 2013/ 0018034 (При- мер 34)	5-{3-(цианометил)-3-[4-(1Н- пирроло[2,3-б]пиridин-4-ил)- 1Н-пиразол-1-ил]азетидин-1- ил}-N-изопропилпиразин-2- карбоксамид		+	>10
18	US 2013/ 0045963 (При- мер 45)	{1-(циc-4-{[6-(2-гидроксиэтил)- 2-(трифторметил)пиrimидин-4- ил]окси}циклогексил)-3-[4-(7Н- пирроло[2,3-д]пиrimидин-4-ил)- 1Н-пиразол-1-ил]азетидин-3- ил}ацетонитрил		+	>10
19	US 2013/ 0045963 (При- мер 65)	{1-(циc-4-{[4- [(этиламино)метил]-6- (трифторметил)пиридин-2- ил]окси}циклогексил)-3-[4-(7Н- пирроло[2,3-д]пиrimидин-4-ил)- 1Н-пиразол-1-ил]азетидин-3- ил}ацетонитрил		+	>10
20	US 2013/ 0045963 (При- мер 69)	{1-(циc-4-{[4-(1-гидрокси-1- метилэтил)-6- (трифторметил)пиридин-2- ил]окси}циклогексил)-3-[4-(7Н- пирроло[2,3-д]пиrimидин-4-ил)- 1Н-пиразол-1-ил]азетидин-3- ил}ацетонитрил		+	>10
21	US 2013/ 0045963 (При- мер 95)	{1-(циc-4-{[4-{[(3R)-3- гидрокипирролидин-1- ил]метил}-6- (трифторметил)пиридин-2- ил]окси}циклогексил)-3-[4-(7Н- пирроло[2,3-д]пиrimидин-4-ил)- 1Н-пиразол-1-ил]азетидин-3- ил}ацетонитрил		+	>10

22	US 2013/ 0045963 (При- мер 95)	{1-(цис-4-{[4-{[(3S)-3- гидроксипирролидин-1- ил]метил}-6- (трифторметил)пиридин-2- ил]окси}циклогексил)-3-[4-(7Н- пирроло[2,3-d]пиrimидин-4-ил)- 1Н-пиразол-1-ил]азетидин-3- ил}ацетонитрил		+	>10
23	US 2014/ 0005166 (При- мер 1)	{транс-3-(4-{[4-{[(1S)-2- гидрокси-1- метилэтил]амино}метил}-6- (трифторметил)пиридин-2- ил]окси}пиперидин-1-ил)-1-[4- (7Н-пирроло[2,3-d]пиrimидин- 4-ил)-1Н-пиразол-1- ил]цикlobутил}ацетонитрил		+	>10
24	US 2014/ 0005166 (При- мер 14)	{транс-3-(4-{[4-{[(2R)-2- гидроксипропил]амино}метил}- 6-(трифторметил)пиридин-2- ил]окси}пиперидин-1-ил)-1-[4- (7Н-пирроло[2,3-d]пиrimидин- 4-ил)-1Н-пиразол-1- ил]цикlobутил}ацетонитрил		+	>10

25	US 2014/ 0005166 (При- мер 15)	{транс-3-(4-{[(2S)-2- гидроксипропил]амино}метил)- 6-(трифторметил)пиридин-2- ил]окси}пиперидин-1-ил)-1-[4- (7Н-пирроло[2,3-d]пиrimидин- 4-ил)-1Н-пиразол-1- ил]цикlobутил}ацетонитрил		+	>10
26	US 2014/ 0005166 (При- мер 20)	{транс-3-(4-{[2- гидроксиэтил)-6- (трифторметил)пиридин-2- ил]окси}пиперидин-1-ил)-1-[4- (7Н-пирроло[2,3-d]пиrimидин- 4-ил)-1Н-пиразол-1- ил]цикlobутил}ацетонитрил		+	>10

+ означает <10 нМ (условия анализа см. в Примере А)

++ означает ≤ 100 нМ (условия анализа см. в Примере А)

+++ означает ≤ 300 нМ (условия анализа см. в Примере А)

^aДанные для энантиомера 1

^bДанные для энантиомера 2

В некоторых вариантах реализации ингибитор JAK1 и/или JAK2 представляет собой {1-{1-[3-фтор-2-(трифторметил)изоникотиноил]пиперидин-4-ил}-3-[4-(7Н-пирроло[2,3-d]пиrimидин-4-ил)-1Н-пиразол-1-ил]азетидин-3-ил}ацетонитрил или его фармацевтически приемлемую соль.

В некоторых вариантах реализации ингибитор JAK1 и/или JAK2 представляет собой соль {1-{1-[3-фтор-2-(трифторметил)изоникотиноил]пиперидин-4-ил}-3-[4-(7Н-пирроло[2,3-d]пиrimидин-4-ил)-1Н-пиразол-1-ил]азетидин-3-ил}ацетонитрила и адипиновой кислоты.

В некоторых вариантах реализации ингибитор JAK1 и/или JAK2 представляет собой 4-{3-(цианометил)-3-[4-(7Н-пирроло[2,3-d]пиrimидин-4-ил)-1Н-пиразол-1-ил]азетидин-1-ил}-2,5-дифтор-N-[(1S)-2,2,2-трифтор-1-метилэтил]бензамид или его фармацевтически приемлемую соль.

В некоторых вариантах реализации ингибитор JAK1 и/или JAK2 выбран из группы, к которой относятся (R)-3-[1-(6-хлорпиридин-2-ил)пирролидин-3-ил]-3-[4-(7Н-пирроло[2,3-d]пиrimидин-4-ил)-1Н-пиразол-1-ил]пропаннитрил, (R)-3-(1-[1,3]оксазоло[5,4-b]пиридин-2-илпирролидин-3-ил)-3-[4-(7Н-пирроло[2,3-d]пиrimидин-4-ил)-1Н-пиразол-1-ил]пропаннитрил, (R)-4-[(4-{3-циано-2-[4-(7Н-пирроло[2,3-d]пиrimидин-4-ил)-1Н-пиразол-1-ил]пропил}пиперазин-1-ил)карбонил]-3-фторбензонитрил, (R)-4-[(4-{3-циано-2-[3-(7Н-пирроло[2,3-d]пиrimидин-4-ил)-1Н-пиррол-1-ил]пропил}пиперазин-1-ил)карбонил]-3-фторбензонитрил, или (R)-4-(4-{3-[(диметиламино)метил]-5-фторфенокси}пиперидин-1-ил)-3-[4-(7Н-пирроло[2,3-d]пиrimидин-4-ил)-1Н-пиразол-1-ил]бутаннитрил, (S)-3-[1-(6-хлорпиридин-2-ил)пирролидин-3-ил]-3-[4-(7Н-пирроло[2,3-d]пиrimидин-4-ил)-1Н-пиразол-1-ил]пропаннитрил, (S)-3-(1-[1,3]оксазоло[5,4-b]пиридин-2-илпирролидин-3-ил)-3-[4-(7Н-пирроло[2,3-d]пиrimидин-4-ил)-1Н-пиразол-1-ил]пропаннитрил, (S)-4-[(4-{3-циано-2-[4-(7Н-пирроло[2,3-d]пиrimидин-4-ил)-1Н-пиразол-1-ил]пропил}пиперазин-1-ил)карбонил]-3-фторбензонитрил, (S)-4-[(4-{3-циано-2-[3-(7Н-пирроло[2,3-d]пиrimидин-4-ил)-1Н-пиррол-1-ил]пропил}пиперазин-1-ил)карбонил]-3-фторбензонитрил, (S)-4-(4-{3-[(диметиламино)метил]-5-фторфенокси}пиперидин-1-ил)-3-[4-(7Н-пирроло[2,3-d]пиrimидин-4-ил)-1Н-пиразол-1-ил]бутаннитрил; и фармацевтически приемлемые соли любого вышеуказанного соединения.

В некоторых вариантах реализации соединения из Таблицы 1 получают с применением процедур синтеза, описываемых в Патентной публикации США № 2010/0298334, поданной 21 мая 2010 г., Патентной публикации США № 2011/0059951, поданной 31 августа 2010 г., Патентной публикации США № 2011/0224190, поданной 9 марта 2011 г., Патентной публикации США № 2012/0149681, поданной 18 ноября 2011 г., Патентной публикации США № 2012/0149682, поданной 18 ноября 2011 г., Патентной публикации США № 2013/0018034, поданной 19 июня 2012 г., Патентной публикации США № 2013/0045963, поданной 17 августа 2012 г., и Патентной публикации США № 2014/0005166, поданной 17 мая 2013 г., каждая из которых включена в данное описание путем ссылки в полном объеме.

В некоторых вариантах реализации ингибитор JAK1 и/или JAK2 выбран из группы, к которой относятся соединения согласно Патентной публикации США № 2010/0298334,

поданной 21 мая 2010 г., Патентной публикации США № 2011/0059951, поданной 31 августа 2010 г., Патентной публикации США № 2011/0224190, поданной 9 марта 2011 г., Патентной публикации США № 2012/0149681, поданной 18 ноября 2011 г., Патентной публикации США № 2012/0149682, поданной 18 ноября 2011 г., Патентной публикации США № 2013/0018034, поданной 19 июня 2012 г., Патентной публикации США № 2013/0045963, поданной 17 августа 2012 г., и Патентной публикации США № 2014/0005166, поданной 17 мая 2013 г., каждая из которых включена в данное описание путем ссылки в полном объеме.

Описываемые авторами ингибиторы PI3K δ могут быть селективными. Под “селективными” следует понимать, что соединение связывается с киназой или ингибирует ее с большей аффинностью или активностью, соответственно, по сравнению с как минимум одной другой киназой. В некоторых вариантах реализации описываемые авторами соединения являются селективные ингибиторы PI3K δ (например, перед PI3K α , PI3K β и PI3K γ). В некоторых вариантах реализации селективность может быть большей как минимум приблизительно в 2 раза, в 5 раз, в 10 раз, как минимум приблизительно в 20 раз, как минимум приблизительно в 50 раз, как минимум приблизительно в 100 раз, как минимум приблизительно в 200 раз, как минимум приблизительно в 500 раз или как минимум приблизительно в 1000 раз. Селективность измеряют способами, хорошо известными специалистам в данной области. В некоторых вариантах реализации селективность испытывают при концентрация K_m АТФ каждого фермента. В некоторых вариантах реализации селективность описываемых авторами соединений может определяться путем клеточных анализов, связанных с активностью конкретной PI3K киназы.

В некоторых вариантах реализации ингибитором PI3K δ является соединение, показанное в Таблице 2. Соединения из Таблицы 2 испытывали в Анализе В, и они проявили себя как ингибиторы PI3K δ с показателями IC₅₀, представленными в Таблице 2.

Таблица 2

№	Преп.	Название	Структура	PI3Kδ IC ₅₀ (нМ)
27	US 2011/0015212 (Пример 10)	7-(1-(9Н-пурин-6-иламино)этил)-6-(3-фторфенил)-3-метил-5Н-тиазоло[3,2-а]пиримидин-5-он		+
28	US 2011/0015212 (Пример 15)	(S)-7-(1-(9Н-пурин-6-иламино)этил)-6-(3-фторфенил)-3-метил-5Н-тиазоло[3,2-а]пиримидин-5-он		+
29	US 2013/0059835 (Пример 269)	4-[1-(4-амино-3-метил-1Н-пиразоло[3,4-d]пиримидин-1-ил)этил]-6-хлор-2-{1-[(2S)-2-гидроксипропил]азетидин-3-ил}-3-метоксибензонитрил		+
30	US 2013/0059835 (Пример 268)	4-[1-(4-амино-3-метил-1Н-пиразоло[3,4-d]пиримидин-1-ил)этил]-6-хлор-2-[1-(2-гидроксиэтил)азетидин-3-ил]-3-метоксибензонитрил		+

31	US 2013/0059835 (Пример 314)	5-{3-[1-(4-амино-3-метил-1H-пиразоло[3,4-d]пиримидин-1-ил)этил]-6-циано-2-этокси-5-метилфенил}-N,N-диметилпиридин-2-карбоксамид		+
32a, 32b, 32c, 32d	US 2013/0059835 (Примеры 345-348 (четыре диастереомера)) Соединения 32a, 32b, 32c и 32d являются Примерами 345, 346, 347, и 348 соответственно	4-{3-[1-(4-амино-3-метил-1H-пиразоло[3,4-d]пиримидин-1-ил)этил]-5-хлор-2-этокси-6-фторфенил}пирролидин-2-он		32a (++) 32b (+) 32c (+) 32d (++)
33	US 2011/0183985 (Пример 17- один энантиомер)	N-{1-[5-хлор-8-(3-фторфенил)циннолин-7-ил]этил}-9Н-пурин-6-амин		+
34	US 2012/0157430	4-хлор-3'-фтор-3-метил-6-[1-(9Н-пурин-6-иламино)этил]бифенил-2-карбонитрил		+++

+ означает <50 нМ

++ означает от 50 нМ до 200 нМ

+++ означает от 50 нМ до 100 нМ

В некоторых вариантах реализации ингибитор РІЗКδ выбран из соединений, к которым относятся:

(S)-4-((S)-1-(4-амино-3-метил-1H-пиразоло[3,4-d]пиримидин-1-ил)этил)-5-хлор-2-этокси-6-фторфенил)пирролидин-2-он;

(R)-4-(3-((S)-1-(4-амино-3-метил-1H-пиразоло[3,4-d]пиrimидин-1-ил)этил)-5-хлор-2-этокси-6-фторфенил)пирролидин-2-он;

(S)-4-(3-((R)-1-(4-амино-3-метил-1H-пиразоло[3,4-d]пиrimидин-1-ил)этил)-5-хлор-2-этокси-6-фторфенил)пирролидин-2-он;

(R)-4-(3-((R)-1-(4-амино-3-метил-1H-пиразоло[3,4-d]пиrimидин-1-ил)этил)-5-хлор-2-этокси-6-фторфенил)пирролидин-2-он;

N-{(1S)-1-[5-хлор-8-(3-фторфенил)циннолин-7-ил]этил}-9H-пурин-6-амин;

и фармацевтически приемлемые соли любого из вышеупомянутых соединений.

В некоторых вариантах реализации ингибитором РІЗКδ является (S)-7-(1-(9H-пурин-6-иламино)этил)-6-(3-фторфенил)-3-метил-5H-тиазоло[3,2-a]пиrimидин-5-он или его фармацевтически приемлемая соль.

В некоторых вариантах реализации ингибитором РІЗКδ является 4-[1-(4-амино-3-метил-1H-пиразоло[3,4-d]пиrimидин-1-ил)этил]-6-хлор-2-{1-[(2S)-2-гидроксипропил]азетидин-3-ил}-3-метоксибензонитрил или его фармацевтически приемлемая соль.

В некоторых вариантах реализации ингибитором РІЗКδ является 4-[1-(4-амино-3-метил-1H-пиразоло[3,4-d]пиrimидин-1-ил)этил]-6-хлор-2-[1-(2-гидроксиэтил)азетидин-3-ил]-3-метоксибензонитрил или его фармацевтически приемлемая соль.

В некоторых вариантах реализации ингибитором РІЗКδ является 5-{3-[1-(4-амино-3-метил-1H-пиразоло[3,4-d]пиrimидин-1-ил)этил]-6-циано-2-этокси-5-метилфенил}-N,N-диметилпиридин-2-карбоксамид или его фармацевтически приемлемая соль

В некоторых вариантах реализации ингибитор РІЗКδ выбран из соединений, к которым относятся:

4-[(R)-1-(4-амино-3-метил-1H-пиразоло[3,4-d]пиrimидин-1-ил)этил]-6-хлор-2-{1-[(2S)-2-гидроксипропил]азетидин-3-ил}-3-метоксибензонитрил;

4-[1(R)-(4-амино-3-метил-1H-пиразоло[3,4-d]пиrimидин-1-ил)этил]-6-хлор-2-[1-(2-гидроксиэтил)азетидин-3-ил]-3-метоксибензонитрил;

5-{3-[1(R)-(4-амино-3-метил-1H-пиразоло[3,4-d]пиrimидин-1-ил)этил]-6-циано-2-этокси-5-метилфенил}-N,N-диметилпиридин-2-карбоксамид;

4-[(S)-1-(4-амино-3-метил-1H-пиразоло[3,4-d]пиrimидин-1-ил)этил]-6-хлор-2-{1-[(2S)-2-гидроксипропил]азетидин-3-ил}-3-метоксибензонитрил;

4-[1(S)-(4-амино-3-метил-1H-пиразоло[3,4-d]пиrimидин-1-ил)этил]-6-хлор-2-[1-(2-гидроксиэтил)азетидин-3-ил]-3-метоксибенzonитрил;

5-{3-[1(S)-(4-амино-3-метил-1H-пиразоло[3,4-d]пиrimидин-1-ил)этил]-6-циано-2-этокси-5-метилфенил}-N,N-диметилпиридин-2-карбоксамид;

и фармацевтически приемлемые соли любого из вышеупомянутых соединений.

В некоторых вариантах реализации ингибитором РІЗКδ является соединение согласно Патентной публикации США № US 2011/0015212, поданной 28 июня 2010 г., Патентной публикации США № 2013/0059835, поданной 31 августа 2013 г., Патентной публикации США № 2011/0183985, поданной 17 декабря 2010 г., или Патентной публикации США № 2012/0157430, поданной 19 декабря 2011 г., каждая из которых включена в данное описание путем ссылки в полном объеме.

В некоторых вариантах реализации соединения из Таблицы 2 получают с применением способов согласно Патентной публикации США № US 2011/0015212, поданной 28 июня 2010 г., Патентной публикации США № 2013/0059835, поданной 31 августа 2013 г., Патентной публикации США № 2011/0183985, поданной 17 декабря 2010 г., или Патентной публикации США № 2012/0157430, поданной 19 декабря 2011 г., каждая из которых включена в данное описание путем ссылки в полном объеме.

В некоторых вариантах реализации ингибитор JAK1 и/или JAK2 представляет собой (3R)-3-цикlopентил-3-[4-(7Н-пирроло[2,3-d]пирамидин-4-ил)-1Н-пиразол-1-ил]пропаннитрил или его фармацевтически приемлемую соль; и (7-(1-(9Н-пурина-6-иламино)этил)-6-(3-фторфенил)-3-метил-5Н-тиазоло[3,2-a]пирамидин-5-он или его фармацевтически приемлемую соль.

В некоторых вариантах реализации ингибитор JAK1 и/или JAK2 представляет собой {1-{1-[3-фтор-2-(трифторметил)изоникотиноил]пиперидин-4-ил}-3-[4-(7Н-пирроло[2,3-d]пирамидин-4-ил)-1Н-пиразол-1-ил]азетидин-3-ил}ацетонитрил или его фармацевтически приемлемую соль; и ингибитор РІЗКδ представляет собой 7-(1-(9Н-пурина-6-иламино)этил)-6-(3-фторфенил)-3-метил-5Н-тиазоло[3,2-a]пирамидин-5-он или его фармацевтически приемлемую соль.

В некоторых вариантах реализации ингибитор JAK1 и/или JAK2 представляет собой 4-{3-(цианометил)-3-[4-(7Н-пирроло[2,3-d]пирамидин-4-ил)-1Н-пиразол-1-ил]азетидин-1-ил}-2,5-дифтор-N-[(1S)-2,2,2-трифторметилэтокси]бензамид или его фармацевтически приемлемую соль; и ингибитор РІЗКδ представляет собой 7-(1-(9Н-пурина-6-иламино)этил)-6-(3-фторфенил)-3-метил-5Н-тиазоло[3,2-a]пирамидин-5-он или его фармацевтически приемлемую соль.

В некоторых вариантах реализации данная заявка обеспечивает способ лечения диффузной крупноклеточной В-клеточной лимфомы у пациентов, которые в этом нуждаются, который включает введение пациенту (3R)-3-цикlopентил-3-[4-(7Н-пирроло[2,3-d]пирамидин-4-ил)-1Н-пиразол-1-ил]пропаннитрила или его фармацевтически приемлемой соли; и ингибитор РІЗКδ представляет (7-(1-(9Н-пурина-6-

иламино)этил)-6-(3-фторфенил)-3-метил-5Н-тиазоло[3,2-а]пиrimидин-5-он или его фармацевтически приемлемую соль.

В некоторых вариантах реализации данная заявка обеспечивает способ лечения диффузной крупноклеточной В-клеточной лимфомы у пациентов, которые в этом нуждаются, который включает введение пациенту {1-{1-[3-фтор-2-(трифторметил)изоникотиноил]пиперидин-4-ил}-3-[4-(7Н-пирроло[2,3-d]пиrimидин-4-ил)-1Н-пиразол-1-ил]азетидин-3-ил}ацетонитрила или его фармацевтически приемлемой соли; и 7-(1-(9Н-пурин-6-иламино)этил)-6-(3-фторфенил)-3-метил-5Н-тиазоло[3,2-а]пиrimидин-5-она или его фармацевтически приемлемой соли.

В некоторых вариантах реализации данная заявка обеспечивает способ лечения диффузной крупноклеточной В-клеточной лимфомы у пациентов, которые в этом нуждаются, который включает введение пациенту 4-{3-(цианометил)-3-[4-(7Н-пирроло[2,3-d]пиrimидин-4-ил)-1Н-пиразол-1-ил]азетидин-1-ил}-2,5-дифтор-N-[(1S)-2,2,2-трифторметилэтил]бензамида или его фармацевтически приемлемой соли; и 7-(1-(9Н-пурин-6-иламино)этил)-6-(3-фторфенил)-3-метил-5Н-тиазоло[3,2-а]пиrimидин-5-она или его фармацевтически приемлемой соли.

Описываемые авторами соединения могут быть асимметричными (например, имеющими один или несколько стереоцентров). Предполагаются все стереоизомеры, такие, как энантиомеры и диастереомеры, если не указано иного. Соединения, содержащие асимметрично замещенные атомы углерода, могут быть выделены в оптически активных или рацемических формах. Способы получения оптически активных форм из оптически неактивных исходных материалов известны специалистам в данной области, например, разделение рацемических смесей или стереоселективный синтез. Многие геометрические изомеры олефинов, двойные связи C=N и т. п. также могут присутствовать в описываемых авторами соединениях, и все эти устойчивые изомеры предусматриваются настоящим изобретением. *Цис* и *транс* геометрические изомеры соединений согласно настоящему изобретению описываются и могут быть выделены в виде смесей изомеров или в отдельных изомерных формах.

В некоторых вариантах реализации соединение имеет (*R*)-конфигурацию. В некоторых вариантах реализации соединение имеет (*S*)-конфигурацию.

Разделение рацемических смесей соединений осуществляют любым из многих способов, известных специалистам в данной области. Пример способа включает фракционную перекристаллизацию с применением хиральной разделяющей кислоты, которая является оптически активной, солеобразующей органической кислотой. Подходящими разделяющими агентами для способов фракционной рекристаллизации

являются, например, оптически активные кислоты, такие, как D и L формы винной кислоты, диацетилвинной кислоты, дibenзоилвинной кислоты, миндальной кислоты, яблочной кислоты, молочной кислоты или различных оптически активных камфорсульфоновых кислот, таких, как β -камфорсульфоновая кислота. К другим разделяющим агентам, подходящим для способов фракционной кристаллизации, относятся стереоизомерно чистые формы α -метилбензиламина (например, S и R формы или диастереомерно чистые формы), 2-фенилглицинол, норэфедрин, эфедрин, N-метилэфедрин, циклогексилэтиламин, 1,2-диаминоциклогексан и т. п.

Разделение рацемических смесей также может осуществляться путем элюирования на колонке с оптически активным разделяющим агентом в качестве набивки (например, динитробензоилфенилглицином). Подходящий состав растворителя для элюирования определяется специалистом в данной области.

К описываемым авторами соединениям также относятся таутомерные формы. Таутомерные формы получают в результате обмена одинарной связи на смежную двойную связь вместе с сопутствующим перемещением протона. К таутомерным формам относятся прототропные таутомеры, которые являются изомерными состояниями протонирования, имеющими одинаковую эмпирическую формулу и общий заряд. Примерами прототропных таутомеров могут быть пары кетон – энол, пары амид – имидная кислота, пары лактам – лактим, пары энамин – имин и кольцевые формы, в которых протон может занимать две или больше позиций гетероциклической системы, например, 1Н- и 3Н-имидазол, 1Н-, 2Н- и 4Н- 1,2,4-триазол, 1Н- и 2Н-изоиндол и 1Н- и 2Н-пиразол. Таутомерные формы могут пребывать в равновесии или быть стерически заключены в одну форму путем соответствующего замещения.

Описываемые авторами соединения также могут включать все изотопы атомов, случающиеся в промежуточных или конечных соединениях. К изотопам относятся атомы, имеющие одинаковое атомное число, но разные массовые числа. Например, изотопами водорода являются тритий и дейтерий.

Термин “соединение” в контексте данного описания охватывает все стереоизомеры, геометрические изомеры, таутомеры и изотопы описываемых структур. Соединения, определяемые авторами по названию или структуре в качестве одной конкретной таутомерной формы, охватывают другие таутомерные формы, если не указано иного.

Все соединения и их фармацевтически приемлемые соли могут существовать вместе с другими веществами, такими, как вода и растворители (например, гидраты и сольваты) или могут быть выделенными.

В некоторых вариантах реализации описываемые авторами соединения или их соли являются по сути выделенными. “По сути выделенные” означает, что соединение как минимум частично или существенно отделено от окружения, в котором оно было образовано или обнаружено. Частичное отделение может включать, например, композицию, обогащенную описываемыми авторами соединениями. Существенное отделение может включать композиции, включающие как минимум около 50 %, как минимум около 60 %, как минимум около 70 %, как минимум около 80 %, как минимум около 90 %, как минимум около 95 %, как минимум около 97 % или как минимум около 99 % по массе описываемых авторами соединений или их солей. Способы выделения соединений и их солей являются привычными для специалистов в данной области.

Фраза “фармацевтически приемлемый” применяется авторами в отношении соединений, материалов, композиций и/или дозированных форм, которые с медицинской точки зрения являются подходящими для применения в контакте с тканями человека и животных без чрезмерной токсичности, раздражения, аллергической реакции или другой проблемы или осложнения, в соответствии с разумным соотношением пользы / риска.

Применяемые авторами выражения “окружающая температура” и “комнатная температура” или “кт” понятны специалистам в данной области и в целом касаются температуры, например, температуры реакции, которая приблизительно равняется температуре воздуха в комнате, в которой осуществляется реакция, например, температуре от около 20 °C до около 30 °C.

Настоящее изобретение также включает фармацевтически приемлемые соли описываемых авторами соединений. В контексте данного описания “фармацевтически приемлемые соли” означают производные раскрываемых соединений, причем исходное соединение модифицируют путем преобразования существующего кислотного или основного компонента в его солевую форму. Примерами фармацевтически приемлемых солей могут быть, помимо прочих, соли с минеральными или органическими кислотами основных остатков, таких, как амины; щелочные или органические соли кислотных остатков, таких, как карбоновые кислоты; и т. п. К фармацевтически приемлемым солям согласно настоящему изобретению относятся традиционные нетоксичные соли исходного соединения, образуемые, например, из нетоксичных неорганических или органических кислот. Фармацевтически приемлемые соли согласно настоящему изобретению могут быть синтезированы из исходного соединения, которое содержит основный или кислотный компонент, с применением традиционных химических способов. Как правило, такие соли могут быть приготовлены путем приведения свободных кислотных или основных форм этих соединений в реакцию со стехиометрическим количеством

соответствующих основания или кислоты в воде или в органическом растворителе или в их смеси; как правило, предпочтение отдают неводным средам, таким, как эфир, этилацетат, спирты (например, метанол, этанол, изопропанол или бутанол) или ацетонитрил (ACN). Список подходящих солей содержится в публикациях *Remington's Pharmaceutical Sciences*, 17th ed., Mack Publishing Company, Easton, Pa., 1985, p. 1418, и *Journal of Pharmaceutical Science*, 66, 2 (1977), каждая из которых включена в данное описание путем ссылки в полном объеме.

В контексте данного описания термин “субъект” или “пациент” применяется взаимозаменяющими и относится к любому животному, включая млекопитающих, предпочтительно мышей, крыс, других грызунов, кроликов, собак, кошек, свиней, крупный рогатый скот, овец, лошадей или приматов, наиболее предпочтительно – человека.

В некоторых вариантах реализации ингибиторы вводят в терапевтически эффективном количестве. В контексте данного описания фраза “терапевтически эффективное количество” означает количество активного соединения или фармацевтического средства, вызывающего биологическую или медицинскую реакцию, которой добивается исследователь, ветеринар, врач или клиницист в ткани, системе, в организме животного, субъекта или человека. В некоторых вариантах реализации доза соединения или его фармацевтически приемлемой соли, которую вводят пациенту или субъекту, составляет от около 1 мг до около 2 г, от около 1 мг до около 1000 мг, от около 1 мг до около 500 мг, от около 1 мг до около 200 мг, от около 1 мг до около 100 мг, от около 1 мг до 50 мг или от около 50 мг до около 500 мг.

В контексте данного описания термин “лечение” означает одно или несколько из явлений, к которым относятся: (1) сдерживание болезни; например, сдерживание болезни, состояния или нарушения у субъекта, который испытывает или демонстрирует патологию или симптоматику болезни, состояния или нарушения (т. е., задержку дальнейшего развития патологии и/или симптоматики); и (2) ослабление болезни; например, ослабление болезни, состояния или нарушения у субъекта, испытывающего или демонстрирующего патологию или симптоматику болезни, состояния или нарушения (т. е., реверсирование патологии и/или симптоматики) например, снижение тяжести заболевания.

Виды комбинированной терапии

Одно или несколько дополнительных фармацевтических средств, таких, как, например, химиотерапевтические средства, противовоспалительные средства, стероиды, иммунодепрессанты, а также ингибиторы Bcr-Abl, Flt-3, EGFR, HER2, c-MET, VEGFR,

PDGFR, cKit, IGF-1R, RAF, FAK, Akt mTOR, PIM и AKT (например, AKT1, AKT2 или AKT3) киназы, такие, как, например, описываемые в документе WO 2006/056399, или другие агенты, такие, как терапевтические антитела, могут применяться в комбинации с соединениями согласно настоящему изобретению для лечения связанных с Р13К болезней, нарушений или состояний. Одно или несколько дополнительных фармацевтических средств вводят пациенту одновременно или последовательно.

Примерами антител для применения в комбинированной терапии могут быть, помимо прочих, Трастузумаб (например, анти-HER2), ранибизумаб (например, анти-VEGF-A), Бевацизумаб (торговое название Авастин, например, анти-VEGF, панитумумаб (например, анти-EGFR), цетуксимаб (например, анти-EGFR), ритуксан (анти-CD20) и антитела, направленные на с-MET.

Одно или несколько из следующих средств могут использоваться в комбинации с соединениями согласно настоящему изобретению и представлены как неограничивающий список: цитостатическое средство, цисплатин, доксорубицин, таксотер, таксол, этопозид, иринотеан, камптостар, топотекан, паклитаксел, доцетаксел, эпотилоны, тамоксифен, 5-фторурацил, метотрексат, темозоломид, циклофосфамид, SCH 66336, R115777, L778,123, BMS 214662, иресса, тарцева, антитела против EGFR, GleevecTM, инtron, ара-C, адриамицин, цитоксан, гемцитабин, азотистопритовое производное урацила, хлорметин, ифосфамид, мелфалан, Хлорамбуцил, пипоброман, триэтиленмеламин, триэтилентиофосфорамин, бусульфан, Кармустин, ломустин, стрептозоцин, дакарбазин, флоксуридин, цитарабин, 6-меркаптопурин, 6-тиогуанин, флударабин фосфат, оксалиплатин, лейковирин, ELOKCATINTM, пентостатин, винбластин, винкристин, виндезин, блеомицин, дактиномицин, даунорубицин, доксорубицин, эпирубицин, идарубицин, митрамицин, деоксикоформицин, митомицин-С, L-аспарагиназа, тенипозид, 17 α -этинилэстрадиол, диэтилстильбэстрол, тестостерон, преднизон, флуоксиместерон, дромостанолонпропионат, тестолактон, мегестролацетат, Метилпреднизолон, метилтестостерон, преднизолон, триамцинолон, хлортрианизен, гидроксипрогестерон, аминоглютетимид, эстрамустин, медроксипрогестеронацетат, лейпролид, флутамид, торемифен, госерелин, цисплатин, карбоплатин, гидроксимочевина, Амсакрин, прокарбазин, митотан, митоксантрон, левамизол, навелбен, анастразол, летразол, капецитабин, релоксафин, дролоксафин, гексаметилмеламин, авастин, герцептин, бексксар, велкейд, зевалин, трисенокс, кселода, винорелбин, порфимер, эрбитукс, липосомал, тиотепа, алтретамин, мелфалан, трастузумаб, лерозол, фулвестрант, эксеместан, ифосфомид, ритуксимаб, С225, кампат, клофарабин, кладрибин, афидиколон, ритуксан, сунитиниб, дазатиниб, тезацитабин, Sm11, флударабин, пентостатин, триапин,

дидокс, тримидокс, амидокс, 3-АР, MDL-101,731, бендамустин (Treanda), офатумумаб или GS-1101 (также известный как CAL-101).

Примерами химиотерапевтических средств могут быть ингибиторы протеасом (например, бортезомиб), талидомид, ревлимид и повреждающие ДНК агенты, такие, как мелфалан, доксорубицин, циклофосфамид, винкристин, этопозид, карmustин и т. п.

Примерами стероидов могут быть кортикостероиды, такие, как дексаметазон или преднизон.

Примерами ингибиторов Bcr-Abl могут быть соединения и их фармацевтически приемлемые соли родов и видов, раскрываемых в патенте США № 5521184, документе WO 04/005281 и Заявке США № 60/578491.

Примерами подходящих ингибиторов Flt-3 могут быть соединения и их фармацевтически приемлемые соли, раскрываемые в документах WO 03/037347, WO 03/099771 и WO 04/046120.

Примерами подходящих ингибиторов RAF могут быть соединения и их фармацевтически приемлемые соли, раскрываемые в документах WO 00/09495 и WO 05/028444.

Примерами подходящих ингибиторов FAK могут быть соединения и их фармацевтически приемлемые соли, раскрываемые в документах WO 04/080980, WO 04/056786, WO 03/024967, WO 01/064655, WO 00/053595 и WO 01/014402.

Примерами подходящих ингибиторов mTOR могут быть соединения и их фармацевтически приемлемые соли, раскрываемые в документе WO 2011/025889.

В некоторых вариантах реализации соединения согласно изобретению могут применяться в комбинации с одним или несколькими другими ингибиторами киназы, включая иматиниб, в частности, для лечения пациентов, резистентных к иматинибу или другим ингибиторам киназы.

В некоторых вариантах реализации соединения согласно изобретению могут применяться в комбинации с химиотерапевтическими средствами для лечения рака, такого, как множественная миелома, и могут улучшать ответ на лечение по сравнению с ответом лишь на химиотерапевтическое средство, без усиления его токсического действия. Примерами дополнительных фармацевтических средств, применяемых для лечения множественной миеломы, могут быть, помимо прочих, мелфалан, мелфалан плюс преднизон [MP], доксорубицин, дексаметазон и велкейд (бортезомиб). К другим дополнительным средствам, применяемым для лечения множественной миеломы, относятся ингибиторы киназ Bcr-Abl, Flt-3, RAF и FAK. желательными результатами комбинирования ингибитора Р13К согласно настоящему изобретению с дополнительным

агентом являются аддитивные или синергетические эффекты. Кроме того, резистентность клеток множественной миеломы к таким агентам, как дексаметазон, может быть обратимой после лечения ингибитором РІЗК согласно настоящему изобретению. Агенты могут сочетаться с представленным соединением в единичной или непрерывной дозированной форме, или же агенты вводят одновременно или последовательно как отдельные дозированные формы.

В некоторых вариантах реализации кортикоид, такой, как дексаметазон, вводят пациенту в комбинации с соединениями согласно изобретению, причем дексаметазон вводят периодически в отличие от непрерывного введения.

В некоторых других вариантах реализации комбинации соединений согласно изобретению с другими терапевтическими средствами вводят пациенту до, во время и/или после трансплантации костного мозга или трансплантации стволовых клеток.

Фармацевтические композиции и дозированные формы

При применении в качестве фармацевтических средств описываемые авторами соединения могут вводиться в форме фармацевтических композиций. Эти композиции могут быть получены способом, хорошо известным специалистам в области фармацевтики и могут быть введены различными путями в зависимости от того, требуется ли местное или системное лечение, и от участка, который поддается лечению. Введение может быть местным (включая интраперitoneальное, эпидуральное, глазное и в слизистые оболочки, включая интраназальное, вагинальное и ректальное введение), пульмональное (например, путем ингаляции или инсуффляция порошков или аэрозолей, включая введение при помощи аэрозольного аппарата; интратекальное или интраназальное введение), пероральное или парентеральное. Парентеральное введение включает внутривенную, внутриартериальную, подкожную, внутрибрюшинную, внутримышечную инъекцию или инфузию; или внутричерепное, например, интратекальное или внутрижелудочковое введение. Парентеральное введение может быть предусмотрено в форме единичной болясной дозы или, например, в виде непрерывной перфузии. Фармацевтические композиции и составы для местного введения могут быть предусмотрены в форме трансдермальных пластырей, мазей, лосьонов, кремов, гелей, капель, суппозиториев, аэрозолей, жидкостей и порошков. Могут быть необходимы или желательны традиционные фармацевтические носители, водные, порошковые или масляные основы, загустители и т. п. Это изобретение также охватывает фармацевтические композиции, содержащие в качестве активного ингредиента описываемое авторами соединение или его фармацевтически приемлемую соль в комбинации с одним или несколькими фармацевтически приемлемыми носителями

(формообразующими). В некоторых вариантах реализации композиция является подходящей для местного введения. При изготовлении композиций согласно изобретению активный ингредиент, как правило, смешивают с формообразующим, разбавляют формообразующим или включают в такой носитель, например, в форме капсулы, пакетасаше, бумажной или другой тары. Если формообразующее служит в качестве разбавителя, оно может быть твердым, полутвердым или жидким материалом, который служит в качестве основы, носителя или среды для активного ингредиента. Таким образом, композиции могут быть предусмотрены в форме таблеток, пилюль, порошков, пастилок, саше, капсул, эликсиров, суспензий, эмульсий, растворов, сиропов, аэрозолей (в твердой форме или в жидком носителе), мазей, содержащих, например, до 10 % по массе активного соединения, мягких и твердых желатиновых капсул, суппозиториев, стерильных растворов для инъекций и стерильных упакованных порошков.

При приготовлении композиции активное соединение может быть подвергнуто перемалыванию для обеспечения надлежащего размера частиц перед комбинированием с другими ингредиентами. Если активное соединение является практически нерастворимым, оно может быть измельчено до размера частиц менее 200 меш. Если активное соединение является по сути водорастворимым, размер частиц регулируют путем измельчения для обеспечения практически равномерного распределения в композиции, например, около 40 меш.

Описываемые авторами соединения измельчают, применяя известные процедуры измельчения, такие, как мокрое измельчение для обеспечения размера частиц, подходящего для формования таблеток и для других типов композиций. Тонкоизмельченные (наночастичные) композиции описываемых авторами соединений получают с применением процессов, известных специалистам в данной области. Например, см. Международную заявку № WO 2002/000196.

Примерами подходящих формообразующих могут быть лактоза, декстроза, сахароза, сорбит, маннит, крахмалы, гуммиарабик, фосфат кальция, альгинаты, трагакант, желатин, силикат кальция, микрокристаллическая целлюлоза, поливинилпирролидон, целлюлоза, вода, сироп и метилцеллюлоза. Композиции дополнительно могут содержать: смазывающие агенты, такие, как тальк, стеарат магния и минеральное масло; смачивающие агенты; эмульгаторы и сусpendирующие агенты; консерванты, такие, как метил- и пропилгидроксибензоаты; подсладители; и ароматизаторы. Композиции согласно изобретению могут быть сформулированы таким образом, чтобы обеспечивать быстрое, пролонгированное или задержанное высвобождение активного ингредиента после введения пациенту с применением процедур, известных специалистам в данной

области.

Композиции могут быть сформулированы в форме единичных доз, каждая из которых содержит от около 5 до около 1000 мг (1 г), чаще от около 100 до около 500 мг активного ингредиента. Термин "формы единичных доз" относится к физическим дискретным единицам, подходящим в качестве единичных доз для человека и других млекопитающих, причем каждая из единиц содержит заданное количество активного материала, рассчитанную таким образом, чтобы создавать желаемый терапевтический эффект в сочетании с подходящим фармацевтическим формообразующим.

В некоторых вариантах реализации композиции согласно изобретению содержат от около 5 до около 50 мг активного ингредиента. Специалисту в данной области станет понятно, что могут быть реализованы композиции, содержащие от около 5 до около 10, от около 10 до около 15, от около 15 до около 20, от около 20 до около 25, от около 25 до около 30, от около 30 до около 35, от около 35 до около 40, от около 40 до около 45 или от около 45 до около 50 мг активного ингредиента.

В некоторых вариантах реализации композиции согласно изобретению содержат от около 50 до около 500 мг активного ингредиента. Специалисту в данной области станет понятно, что могут быть реализованы композиции, содержащие от около 50 до около 100, от около 100 до около 150, от около 150 до около 200, от около 200 до около 250, от около 250 до около 300, от около 350 до около 400 или от около 450 до около 500 мг активного ингредиента.

В некоторых вариантах реализации композиции согласно изобретению содержат от около 500 до около 1000 мг активного ингредиента. Специалисту в данной области станет понятно, что могут быть реализованы композиции, содержащие от около 500 до около 550, от около 550 до около 600, от около 600 до около 650, от около 650 до около 700, от около 700 до около 750, от около 750 до около 800, от около 800 до около 850, от около 850 до около 900, от около 900 до около 950 или от около 950 до около 1000 мг активного ингредиента.

Подобные дозы описываемых авторами соединений могут применяться согласно способам применения изобретения.

Активное соединение может быть эффективным в широком диапазоне доз и обычно вводится в фармацевтически эффективном количестве. Однако следует понимать, что фактически вводимое количество соединения обычно определяется врачом в зависимости от соответствующих обстоятельств, включая состояние, которое поддается лечению, выбранного пути введения, конкретного вводимого соединения, возраста, массы и реакции конкретного пациента, тяжести симптомов у пациента и т. п.

Для предварительно приготовленных твердых композиций, таких, как таблетки, главный активный ингредиент смешивают с фармацевтическим формообразующим для образования твердой композиции-кандидата, содержащей гомогенную смесь соединения согласно настоящему изобретению. В случае гомогенных композиций-кандидатов активный ингредиент обычно равномерно диспергируют по всей композиции таким образом, чтобы композиция могла быть легко разделена на одинаково эффективные формы единичных доз, такие, как таблетки, пилюли и капсулы. Эту твердую композицию-кандидат затем разделяют на формы единичных доз вышеописанного типа, которые содержат, например, от около 0,1 до около 1000 мг активного ингредиента согласно настоящему изобретению.

Таблетки или пилюли согласно настоящему изобретению могут быть покрыты или иным образом компаундированы для обеспечения дозированной формы, обеспечивающей возможность пролонгированного действия. Например, таблетка или пилюлья может включать внутренний и внешний компоненты дозы, причем последний предусмотрен в форме оболочки над первым. Два компонента, могут быть разделены энтеросолюбильным слоем, который препятствует распадаемости в желудке и позволяет внутреннему компоненту проходить в интактном состоянии в двенадцатiperстную кишку или задерживает его высвобождение. Для таких энтеросолюбильных слоев или покрытий применяют различные материалы, например, материалы, включающие многие полимерные кислоты и смеси полимерных кислот с такими материалами, как шеллак, цетиловый спирт и ацетат целлюлозы.

К жидким формам, в которые соединения и композиции согласно настоящему изобретению могут быть включены для введение пероральным путем или путем инъекции, относятся водные растворы, соответственно ароматизированные сиропы, водные или масляные суспензии и ароматизированные эмульсии с пищевыми маслами, такими, как хлопковое масло, кунжутное масло, кокосовое масло или арахисовое масло, а также эликсиры и подобные фармацевтические основы.

К композициям для ингаляции или инсуффляция относятся растворы и суспензии в фармацевтически приемлемых водных или органических растворителях или их смесях и порошках. Жидкие или твердые композиции могут содержать соответствующие фармацевтически приемлемые формообразующие, как описывается выше. В некоторых вариантах реализации композиции вводят пероральным или назальным респираторным путем для местного или системного эффекта. Композиции распыляют путем применения инертных газов. Распыленные растворы могут вдыхаться непосредственно из распыляющего устройства или распыляющее устройство может быть присоединено к

лицевой маске, палатке или дыхательному аппарату с перемежающимся положительным давлением. Раствор, суспензия или порошковые композиции могут вводиться перорально или назально из устройств, соответствующим образом доставляющих композицию.

Композиции для местного применения могут содержать один или несколько традиционных носителей. В некоторых вариантах реализации мази могут содержать воду и один или несколько гидрофобных носителей, выбранных, например, из жидкого парафина, полиоксиэтиленалкилового эфира, пропиленгликоля, белого вазелина и т. п. Композиции носителей кремов могут быть предусмотрены на водной основе в комбинации с глицерином и одним или несколькими другими компонентами, например, глицеринмоностеаратом, ПЕГ-глицеринмоностеаратом и цетилстеариловым спиртом. Гели могут быть рецептированы с применением изопропилового спирта и воды, желательно в комбинации с другими компонентами, такими, как, например, глицерин, гидроксиэтилцеллюлоза и т. п. В некоторых вариантах реализации композиции для местного применения содержат как минимум около 0,1, как минимум около 0,25, как минимум около 0,5, как минимум около 1, как минимум около 2 или как минимум около 5 мас. % описываемого авторами соединения. Композиции для местного применения могут быть соответствующим образом помещены в тубы, например, по 100 г, к которым необязательно прилагаются инструкции по лечению выбранного показания, например, псориаза или другого кожного показания.

Количество соединения или композиции для введения пациенту может быть разным, в зависимости от вводимого вещества, цели введения, например, профилактики или терапии, состояния пациента, способа введения и т. п. при терапевтическом применении композиции вводят пациенту, который уже страдает от болезни, в количестве, достаточном для лечения или как минимум частичного сдерживания симптомов болезни и ее осложнений. Эффективные дозы зависят от болезненного состояния, поддающегося лечению, а также определяются на усмотрение клинициста в зависимости от таких факторов, как тяжесть заболевания, возраст, масса и общее состояние пациента и т. п.

Вводимые пациенту композиции могут быть предусмотрены в форме описываемых авторами фармацевтических композиций. Эти композиции могут быть стерилизованы традиционными способами стерилизации или могут быть подвергнуты стерильной фильтрации. Водные растворы могут быть расфасованы для применения в исходном состоянии или лиофилизированы, причем лиофилизированную композицию комбинируют со стерильным водным носителем перед введением. Уровень pH композиций соединения, как правило, составляет от 3 до 11, более предпочтительно – от 5 до 9, и наиболее

предпочтительно – от 7 до 8. Следует понимать, что применение некоторых из вышеупомянутых формообразующих, носителей или стабилизаторов в результате приводит к образованию фармацевтических солей.

Терапевтическая доза соединения согласно настоящему изобретению может быть разной, например, в зависимости от конкретного применения, для которого предусмотрено лечение, способа введения соединения, состояния здоровья пациента и мнения врача, назначающего лекарство. Пропорция или концентрация описываемого авторами соединения в фармацевтической композиции может быть разной, в зависимости от многих факторов, включая дозу, химические характеристики (например, гидрофобность) и путь введения. Например, описываемые авторами соединения могут быть предусмотрены в водном физиологическом буферном растворе, содержащем от около 0,1 до около 10 % (масса/объем) соединения для парентерального введения. Некоторые типичные диапазоны доз составляют от около 1 мкг/кг до около 1 г/кг массы тела в день. В некоторых вариантах реализации диапазон доз составляет от около 0,01 мг/кг до около 100 мг/кг массы тела в день. Доза обычно зависит от таких переменных, как тип и степень прогрессирования болезни или нарушения, общее состояние здоровья конкретного пациента, относительная биологическая эффективность выбранного соединения, состав формообразующего и путь введения. Эффективные дозы могут быть экстраполированы из кривых зависимости "доза-эффект", построенных по результатам испытаний *in vitro* или на животных моделях.

Композиции согласно изобретению также могут включать одно или несколько дополнительных фармацевтических средств, таких, как химиотерапевтическое средство, стероид, противовоспалительное соединение или иммунодепрессант, примеры которых перечисляются авторами.

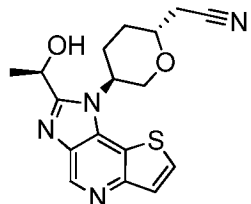
Наборы

Настоящее изобретение также включает фармацевтические наборы, применяемые, например, в лечении или профилактике связанных с РІЗК болезней или нарушений, таких, как рак, и включающие один или несколько вместилищ, содержащих фармацевтическую композицию, включающую терапевтически эффективное количество описываемого авторами соединения. Такие наборы также могут в случае необходимости включать один или несколько традиционных компонентов фармацевтических наборов, таких, как, например, емкости с одним или несколькими фармацевтически приемлемыми носителями, дополнительные емкости и т. п., которые могут быть очевидными для специалистов в данной области. Набор также может включать инструкции, в виде вкладышей или ярлыков, с указанием количества вводимых компонентов, рекомендациями по введению

и/или рекомендации по смешиванию компонентов.

ПРИМЕРЫ

Пример 1. ((2R,5S)-5-{2-[(1R)-1-Гидроксиэтил]-1H-имиазо[4,5-d]тиено[3,2-b]пиридин-1-ил}тетрагидро-2H-пиран-2-ил)ацетонитрил



Стадия 1. трет-бутил (4S)-2,2-диметил-4-винил-1,3-оксазолидин-3-карбоксилат

К суспензии метилтрифенилfosфонийбромида (5,63 г, 15,8 ммоль) в тетрагидрофуране (140 мл) добавляли 2,5 М н-бутиллития в гексане (7,35 мл, 18,4 ммоль). Раствор насыщенно-красного цвета перемешивали при 0 °С в течение 1 ч. Затем по капле при 0 °С добавляли раствор трет-бутил (4R)-4-формил-2,2-диметил-1,3-оксазолидин-3-карбоксилата (от Aldrich, 3,01 г, 13,1 ммоль) в тетрагидрофуране (7,3 мл). Раствор красного цвета нагревали до комнатной температуры и перемешивали в течение 12 ч. К реакционной смеси добавляли смесь изомеров гексана в соотношении 4:1 (объем/объем). Суспензию фильтровали через целик и фильтрат концентрировали. Образовавшийся в результате остаток очищали путем флэш-хроматографии (с элюированием 10 % этилацетатом в смеси изомеров гексана) для получения нужного соединения в виде бесцветного масла (1,92 г, 64 %).

Стадия 2. трет-Бутил [(1S)-1-(гидроксиметил)проп-2-ен-1-ил]карбамат

К раствору трет-бутил (4S)-2,2-диметил-4-винил-1,3-оксазолидин-3-карбоксилата (1,90 г, 8,36 ммоль) в метаноле (83 мл) добавляли моногидрат *n*-толуолсульфоновой кислоты (0,80 г, 4,2 ммоль) при 0 °С. Смесь медленно нагревали до комнатной температуры в течение суток. Реакционную смесь разбавляли насыщенным раствором NaHCO₃, концентрировали, а затем разбавляли этилацетатом. Органический слой промывали насыщенным NaHCO₃ (2x) и солевым раствором, высушивали над Na₂SO₄, фильтровали и концентрировали для получения нужного продукта в виде бесцветного масла (1,187 г, 76 %). ¹H ЯМР (400 МГц, CDCl₃) δ 5,81 (1H, м), 5,25 (2H, м), 4,90 (1H, м), 4,25 (1H, ш с), 3,67 (2H, м), 1,45 (9H, с) м.д.

Стадия 3. трет-Бутил [(1S)-1-({[1-(гидроксиметил)проп-2-ен-1-ил]окси}метил)проп-2-ен-1-ил]карбамат

В колбу загружали трет-бутил [(1S)-1-(гидроксиметил)проп-2-ен-1-ил]карбамат (0,401 г, 2,14 ммоль), три(дибензилиденакетон)дипалладий (0) (59 мг, 0,064 ммоль), *N,N'*-(1S,2S)-циклогексан-1,2-диилбис[2-(дифенилфосфино)-1-нафталиминид] (150 мг, 0,19

ммоль) и 4-диметиламинопиридин (78 мг, 0,64 ммоль). Реакционную смесь трижды продували N_2 , а затем последовательно добавляли метиленхлорид (21,3 мл) и 1,0 М триэтилборан в ТГФ (130 мкл, 0,13 ммоль). После перемешивания в течение 10 мин добавляли 2-винилоксиран (0,150 г, 2,14 ммоль) и образовавшуюся в результате смесь перемешивали в течение суток. Реакционную смесь разбавляли дихлорметаном и насыщенным раствором $NaHCO_3$. Органический слой отделяли и высушивали над Na_2SO_4 , фильтровали и концентрировали. Необработанный остаток очищали путем флэш-хроматографии (с элюированием 0-50 % этилацетатом / смесью изомеров гексана) для получения нужного продукта (0,271 г, 49 %). 1H ЯМР (300 МГц, $CDCl_3$) δ 5,85 (1Н, м), 5,67 (1Н, м), 5,84~5,17 (4Н, м), 4,83 (1Н, м), 4,30 (1Н, ш с), 3,83 (1Н, м), 3,69 (1Н, дд, J = 4,5 и 6,9 Гц), 3,54 (2Н, м), 3,36 (1Н, дд, J = 4,5 и 6,9 Гц), 1,45 (9Н, с) м.д..

Стадия 4. 2-({(2S)-2-[(трем-Бутоксикарбонил)амино*]бути-3-ен-1-ил}окси)бути-3-ен-1-илацетат*

К смеси *трем-бутил* [(1*S*)-1-({[1-(гидроксиметил)проп-2-ен-1-ил]окси}метил)проп-2-ен-1-ил]карбамата (268 мг, 1,04 ммоль) в метиленхлориде (10 мл) добавляли триэтиламин (435 мкл, 3,12 ммоль). Смесь охлаждали до 0 °С и по капле добавляли ацетилхлорид (150 мкл, 2,1 ммоль). Реакционную смесь перемешивали при комнатной температуре в течение 2 ч, затем гасили водой. Органический слой концентрировали и образовавшийся в результате остаток очищали на силикагеле (с элюированием 20 % этилацетатом / смесью изомеров гексана) для получения нужного продукта (0,26 г, 85 %). Расчет ЖХМС для $C_{10}H_{18}NO_3$ ($M-100+H$) $^+$: m/z = 200,1; Обнаружено: 200,1.

Стадия 5. {(5S)-5-[*(трем-Бутоксикарбонил)амино*-5,6-дигидро-2Н-тиран-2-ил}метилацетат**

В 500 мл двугорлую колбу с круглым дном добавляли бензилиден(дихлор)(1,3-димезитилимидазолидин-2-ид-2-ил)(трициклогексилфосфоранил)рутений (38 мг, 0,044 ммоль). После трехкратного продувания азотом добавляли дихлорметан (безводный, 8 мл) с последующим добавлением 2-({(2*S*)-2-[*(трем-Бутоксикарбонил)амино*]бути-3-ен-1-ил}окси)бути-3-ен-1-илацетата (265 мг, 0,885 ммоль). Реакционную смесь перемешивали при комнатной температуре в течение 15 ч. Смесь концентрировали *in vacuo*. Остаток очищали путем флэш-хроматографии (с элюированием смесью изомеров гексана до 25 % $EtOAc$ в смеси изомеров гексана) для получения нужного продукта в виде бурого масла (0,205 г, 85 %). Расчет ЖХМС для $C_9H_{14}NO_5$ ($M+H-Bu+H$) $^+$: m/z = 216,1; Обнаружено: 216,1. 1H ЯМР (300 МГц, $CDCl_3$) δ 5,94 (0,17Н, м), 5,84 (0,83Н, м), 5,69 (1Н, м), 4,89 (0,13Н, м), 4,70 (0,83Н, м), 4,25 (1Н, м), 4,05 (4Н, м), 3,56 (0,13Н, м), 3,38 (0,87Н, м), 2,04 (2,49Н, с), 2,03 (0,51Н, м), 1,38 (9Н, с) м.д. (продукт представлял собой смесь ~5:1 транс- и

цис-изомеров).

Стадия 6. [(5S)-5-Амино-5,6-дигидро-2H-тиран-2-ил]метилацетат

К раствору {(5S)-5-[(*трет*-бутоксикарбонил)амино]-5,6-дигидро-2H-пиран-2-ил}метилацетата (205 мг, 0,756 ммоль) в метиленхлориде (5,2 мл) добавляли 4,0 М хлористого водорода в диоксане (1,5 мл, 6,0 ммоль). Реакционный раствор перемешивали при комнатной температуре в течение 6 ч. Растворитель удаляли под сниженным давлением для получения нужного продукта в виде белого твердого вещества. Расчет ЖХМС для C₈H₁₄NO₃ (M+ H)⁺: m/z = 172,1; Обнаружено: 172,1.

*Стадия 7. {(5S)-5-[(6-Нитротиено[3,2-*b*]тиридин-7-ил)амино]-5,6-дигидро-2H-тиран-2-ил}метилацетат*

Смесь 7-хлор-6-нитротиено[3,2-*b*]пиридина (156 мг, 0,727 ммоль), [(5S)-5-амино-5,6-дигидро-2H-пиран-2-ил]метилацетата (129 мг, 0,754 ммоль) и N,N-дизопропилэтиламина (0,26 мл, 1,5 ммоль) в изопропиловом спирте (1,7 мл) обрабатывали при 90 °C в течение 2 ч. Реакционную смесь концентрировали и очищали путем фланш-хроматографии для получения нужного продукта (0,21 г, 83 %). Расчет ЖХМС для C₁₅H₁₆N₃O₅S (M+ H)⁺: m/z = 350,1; Обнаружено: 350,0.

*Стадия 8. {(5S)-5-[(6-Аминотиено[3,2-*b*]тиридин-7-ил)амино]тетрагидро-2H-тиран-2-ил}метилацетат*

Смесь {(5S)-5-[(6-нитротиено[3,2-*b*]тиридин-7-ил)амино]-5,6-дигидро-2H-пиран-2-ил}метилацетата (210 мг, 0,600 ммоль) и 10 % палладия на угле (0,21 г) в метаноле (4,0 мл) подвергали воздействию баллонного давления H₂ при комнатной температуре в течение 2 ч. Смесь фильтровали и фильтрат концентрировали и очищали путем фланш-хроматографии (с элюированием 15 % метанолом в дихлорметане) для получения нужного продукта (145 мг, 75 %). Расчет ЖХМС для C₁₅H₂₀N₃O₃S (M+ H)⁺: m/z = 322,1; Обнаружено: 322,0.

*Стадия 9. (IR)-1-{1-[(3S)-6-(Гидроксиметил)тетрагидро-2H-тиран-3-ил]-1H-имиазо[4,5-*d*]тиено[3,2-*b*]тиридин-2-ил}этанол*

Смесь (2R)-2-гидроксипропанамида (131 мг, 1,47 ммоль) и триэтилоксонийтетрафторбората (263 мг, 1,38 ммоль) в ТГФ (2 мл) перемешивали при комнатной температуре в течение 2 ч. Растворитель удаляли и остаток растворяли в этаноле (0,85 мл) и добавляли к суспензии {(5S)-5-[(6-аминотиено[3,2-*b*]тиридин-7-ил)амино]тетрагидро-2H-пиран-2-ил}метилацетата (145 мг, 0,451 ммоль) в этаноле (3,1 мл). Смесь перемешивали при 80 °C в течение 1 ч. Реакционную смесь охлаждали до комнатной температуры и разбавляли водой (1,0 мл). Добавляли гидроксид лития (32,4 мг, 1,35 ммоль) и смесь перемешивали в течение 2 ч. Реакционную смесь разбавляли

метанолом и очищали путем препаративной ЖХМС (колонка XBridge C18, элюирование градиентом ацетонитрил/вода с содержанием 0,1 % гидроксида аммония при скорости потока 60 мл/мин) для получения нужного продукта в виде белого твердого вещества (95 мг, 63 %). Расчет ЖХМС для $C_{16}H_{20}N_3O_3S$ ($M+ H$)⁺: m/z = 334,1; Обнаружено: 334,0.

Стадия 10: ((2R,5S)-5-{2-[(1R)-1-Гидроксиэтил]-1Н-имиазо[4,5-d]тиено[3,2-b]тиридин-1-ил}тетрагидро-2Н-тиран-2-ил)метил 4-метилбензолсульфонат и ((2S,5S)-5-{2-[(1R)-1-гидроксиэтил]-1Н-имиазо[4,5-d]тиено[3,2-b]тиридин-1-ил}тетрагидро-2Н-тиран-2-ил)метил 4-метилбензолсульфонат

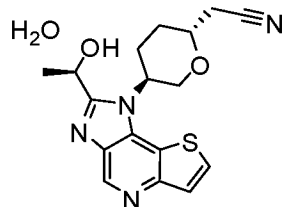
К раствору (1R)-1-{1-[(3S)-6-(гидроксиметил)тетрагидро-2Н-пиран-3-ил]-1Н-имиазо[4,5-d]тиено[3,2-b]тиридин-2-ил}этанола (100 мг, 0,300 ммоль) (предыдущая стадия) в метиленхлориде (3,4 мл) и пиридине (0,146 мл, 1,80 ммоль) добавляли *n*-толуолсульфонилхлорид (57,2 мг, 0,300 ммоль) и 4-диметиламинопиридин (1,8 мг, 0,015 ммоль) при 0 °C. Реакционной смеси давали нагреться до комнатной температуры в течение суток. Реакционную смесь концентрировали, разбавляли метанолом и очищали путем препаративной ЖХМС (колонка XBridge C18, элюирование градиентом ацетонитрил / вода с содержанием 0,1 % гидроксида аммония при скорости потока 60 мл/мин) для получения двух пиков. При аналитической ВЭЖХ (Waters SunFire C18, 2,1 x 50 мм, 5 мкM; скорость потока 3 мл/мин; вводимый объем 2 мкл; при градиенте от 2 до 80 % В за 3 минуты (A = вода с 0,025 % ТФУК, В = ацетонитрил)): первый пик (45,3 мг, 31 %) время удержания 1,81 мин, расчет ЖХМС для $C_{23}H_{26}N_3O_5S_2$ ($M+ H$)⁺: m/z = 488,1; Обнаружено: 488,1. Второй пик (8,5 мг, 5,8 %) время удержания 1,88 мин, расчет ЖХМС для $C_{23}H_{26}N_3O_5S_2$ ($M+ H$)⁺: m/z = 488,1; Обнаружено: 488,1.

Стадия 11. ((2R,5S)-5-{2-[(1R)-1-Гидроксиэтил]-1Н-имиазо[4,5-d]тиено[3,2-b]тиридин-1-ил}тетрагидро-2Н-тиран-2-ил)ацетонитрил

Смесь ((2R,5S)-5-{2-[(1R)-1-гидроксиэтил]-1Н-имиазо[4,5-d]тиено[3,2-b]тиридин-1-ил}тетрагидро-2Н-тиран-2-ил)метил 4-метилбензолсульфоната (с 1-го пика предыдущего стадия, 27 мг, 0,055 ммоль) и цианида натрия (4,5 мг, 0,092 ммоль) в диметилсульфоксиде (0,4 мл) перемешивали при 50 °C в течение 4 ч. После охлаждения смесь разбавляли метанолом и очищали путем препаративной ЖХМС (колонка XBridge C18, элюирование градиентом ацетонитрил / вода с содержанием 0,1 % гидроксида аммония при скорости потока 30 мл/мин) для получения нужного продукта (14.5 мг, 76 %). Расчет ЖХМС для $C_{17}H_{19}N_4O_2S$ ($M+ H$)⁺: m/z = 343,1; Обнаружено: 343,0. ¹H ЯМР (ДМСО-*d*₆, 500 МГц) δ 9,51 (1H, с), 8,45 (1H, д, *J* = 5,5 Гц), 7,97 (1H, д, *J* = 5,,5 Гц), 5,31 (1H, м), 5,20 (1H, м), 4,31 (1H, м), 4,23 (1H, м), 4,02 (1H, м), 2,96 (1H, дд, *J* = 17,0 и 4,5 Гц), 2,85 (1H, дд, *J* = 17,0 и 4,5 Гц), 2,66 (1H, м), 2,26 (1H, м), 2,09 (1H, м), 1,73 (1H, м), 1,69

(3Н, д, $J = 6,5$ Гц) м.д..

Пример 1а. Гидрат ((2R,5S)-5-{2-[(1R)-1-Гидроксиэтил]-1H-имидазо[4,5-d]тиено[3,2-b]пиридин-1-ил}тетрагидро-2H-пиран-2-ил)ацетонитрила



((2R,5S)-5-{2-[(1R)-1-Гидроксиэтил]-1H-имидазо[4,5-d]тиено[3,2-b]пиридин-1-ил}тетрагидро-2H-пиран-2-ил)ацетонитрил (52 мг, 0,15 ммоль) согласно Примеру 25 кристаллизовали из смеси ацетонитрила (8 мл) и воды (4 мл). Образовавшиеся в результате и собранные призматические кристаллы были подходящими для рентгеновского анализа кристаллической структуры.

Данные кристалла показывают: ~0,520 x 0,180 x 0,100 мм, орторомбические, P212121, $a = 6,962(3)$ Å, $b = 11,531(4)$ Å, $c = 20,799(7)$ Å, $\text{Vol} = 1669,6(10)$ Å³, $Z = 4$, $T = -100^\circ\text{C}$, молекулярная масса по формуле соединения = 359,42, плотность = 1,430 г/см³, $\mu\text{K}(\text{Mo}) = 0,22$ мм⁻¹.

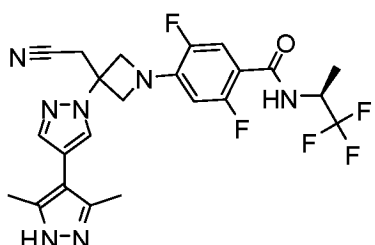
Сбор данных осуществляли на системе Bruker SMART APEX-II CCD, MoKalpha-излучение, стандартная фокусировочная трубка, мощность питания анода = 50 кВ x 42 мА, расстояние от кристалла до пластины = 5,0 см, 512 x 512 пикселей / рамку, центр пучка = (256,13, 253,14), всего рамок = 1151, осцилляция / рамка = 0,50°, экспозиция / рамка = 10,1 сек/рамка, SAINT-интеграция, hkl мин./макс. = (-9, 9, -15, 15, -27, 27), ввод данных в shelx = 17025, уникальные данные = 3975, диапазон 2-тета = от 3,92 до 55,72°, завершенность до 2-тета 55,72 = 99,80 %, $R(\text{int}-x\ell) = 0,0681$, применяли коррекцию SADABS.

Структуру решали с использованием XS(Shelxtl), уточняли с использованием пакета программ shelxtl, уточнение способом наименьших квадратов в полноматричном приближении по F^2 , коэффициенты рассеивания из Int. Tab. Vol C Tables 4.2.6.8 и 6.1.1.4, количество данных = 3975, количество ограничений = 0, количество параметров = 235, соотношение данных/параметров = 16,91, критерий согласия по $F^2 = 1,04$, R-индексы [$I > 4\sigma(I)$] $R1 = 0,0505$, $wR2 = 0,1242$, R-индексы (все данные) $R1 = 0,0769$, $wR2 = 0,1401$, пик и яма макс. разницы = 0,724 и -0,277 e/Å³, уточненный параметр Флэка = -0,12(13), все атомы водорода CH уточняли с применением модели ограничения. Атомы водорода OH обнаруживали по разностному отображению и полностью уточняли.

Результаты показали, что асимметричная единица содержит одну молекулу и одну воду, как показывают термальные эллипсоиды, построенные с 50 % уровнем вероятности.

Стереохимия в каждом из трех стереоцентров (как указывается в названии и структуре вышеуказанного соединения) подтверждалась. Параметр Флэка, уточненный до 0,28(24), указывал на правильную энантиомерную установку.

Пример 2. 4-[3-(Цианометил)-3-(3',5'-диметил-1*H*,1'*H*-4,4'-бипиразол-1-ил)азетидин-1-ил]-2,5-дифтор-*N*[(1*S*)-2,2,2-трифтор-1-метилэтил]бензамид



*Стадия 1: 2,4,5-Трифтор-*N*[(1*S*)-2,2,2-трифтор-1-метилэтил]бензамид*

К раствору 2,4,5-трифторбензойной кислоты (5,00 г, 28,4 ммоль) в ацетонитриле (50 мл) добавляли *N,N*-диметилформамид (40 мкл) с последующим добавлением оксалилхлорида (3,60 мл, 42,6 ммоль). Через 90 мин летучие вещества удаляли под сниженным давлением. Остаток испаряли вместе с ацетонитрилом (50 мл). Затем остаток растворяли в метиленхлориде (50 мл). Этот раствор по капле добавляли в охлажденную (в ледяной бане) смесь (2*S*)-1,1,1-трифторпропан-2-амингидрохлорида (5,52 г, 36,9 ммоль) (от Synquest, 98 % э.и.) в толуоле (100 мл) и 0,5 М водного раствора гидроксида натрия (142 мл, 71,0 ммоль). После добавления ледянную баню удаляли и реакционной смеси давали нагреться до комнатной температуры. Реакционную смесь перемешивали в течение суток. Органический слой отделяли. Водный слой экстрагировали метиленхлоридом (50 мл). Комбинированные органические слои промывали 20 % солевым раствором (75 мл) и водой (2 x 75 мл), высушивали над MgSO₄, фильтровали и концентрировали под сниженным давлением для получения нужного продукта (6,49 г, 84 %), который непосредственно использовали на следующем стадии без дальнейшей очистки. ¹H ЯМР (300 МГц, DMSO-*d*₆) δ 9,01 (д, *J* = 7,6 Гц, 1H), 7,92 – 7,50 (м, 2H), 4,76 (м, 1H), 1,31 (д, *J* = 7,0 Гц, 3H) м.д. Расчет ЖХМС для C₁₀H₈F₆NO (M+1)⁺: m/z = 272,0; Обнаружено: 272,0.

*Стадия 2: 2,5-Дифтор-4-(3-гидроксиазетидин-1-ил)-*N*[(1*S*)-2,2,2-трифтор-1-метилэтил]бензамид*

Смесь 2,4,5-трифтор-*N*[(1*S*)-2,2,2-трифтор-1-метилэтил]бензамида (6,39 г, 23,6 ммоль), азетидин-3-олгидрохлорида (3,19 г, 28,3 ммоль) и 1,8-диазабицикло[5.4.0]ундец-7-ена (8,81 мл, 58,9 ммоль) в ацетонитриле (25 мл) перемешивали при 80 °C в течение 2 ч. Реакционную смесь разбавляли EtOAc (75 мл) и промывали 1 н HCl (50 мл), 1N NaHCO₃ (60 мл), 20 % солевым раствором (50 мл) и водой (75 мл). Водные слои экстрагировали

EtOAc (100 мл). Органические слои комбинировали, высушивали над $MgSO_4$, фильтровали и концентрировали под сниженным давлением для получения на выходе нужного продукта (7,59 г, 91,8 %). 1H ЯМР (300 МГц, $DMSO-d_6$) δ 8,38 (дд, $J = 8,9, 1,9$ Гц, 1Н), 7,27 (дд, $J = 12,8, 6,5$ Гц, 1Н), 6,38 (дд, $J = 12,3, 7,5$ Гц, 1Н), 5,71 (д, $J = 6,4$ Гц, 1Н), 4,74 (дп, $J = 15,3, 7,6$ Гц, 1Н), 4,62 – 4,46 (м, 1Н), 4,30 – 4,15 (м, 2Н), 3,71 (м, 2Н), 1,29 (д, $J = 7,1$ Гц, 3Н) м.д.. Расчет ЖХМС для $C_{13}H_{14}F_5N_2O_2$ ($M+1$) $^+$: m/z = 325,1; Обнаружено: 325,1.

Стадия 3: 2,5-Дифтор-4-(3-охоказетидин-1-ил)-N-[(1S)-2,2,2-трифтор-1-метилэтил]бензамид

К раствору 2,5-дифтор-4-(3-гидроксиазетидин-1-ил)-N-[(1S)-2,2,2-трифтор-1-метилэтил]бензамида (7,57 г, 23,3 ммоль) в метиленхлориде (93 мл) добавляли йодобензолдиацетат (9,40 г, 29,2 ммоль) и свободный радикал 2,2,6,6-тетраметил-1-пиперидинилокси (1,82 г, 11,7 ммоль) (TEMPO) при комнатной температуре. Реакционную смесь перемешивали при комнатной температуре в течение суток. Смесь разбавляли *EtOAc* (100 мл), промывали 0,5N $NaHCO_3$ (2x80 мл), 20 % солевым раствором (100 мл) и водой (100 мл). Водные слои экстрагировали этилацетатом (75 мл). Органические экстракты комбинировали, высушивали над $MgSO_4$, фильтровали и концентрировали под сниженным давлением. Остаток очищали путем фланш-хроматографии на силикагелевой колонке с элюированием этилацетатом от 0 % до 5 % в метиленхлориде для получения необработанного продукта, который перекристаллизовали из МТВЕ (50 мл) и гептана (100 мл) для получения нужного продукта (5,44 г, 72 %) в виде бесцветного твердого вещества. 1H ЯМР (300 МГц, $DMSO-d_6$) δ 8,52 (д, $J = 8,0$ Гц, 1Н), 7,36 (дд, $J = 12,5, 6,5$ Гц, 1Н), 6,63 (дд, $J = 12,1, 7,6$ Гц, 1Н), 4,90 (д, $J = 2,1$ Гц, 4Н), 4,86 – 4,68 (м, 1Н), 1,31 (д, $J = 7,1$ Гц, 3Н) м.д. Расчет ЖХМС для $C_{13}H_{12}F_5N_2O_2$ ($M+1$) $^+$: m/z = 323,1; Обнаружено: 323,0.

Стадия 4: 4-[3-(Цианометилен)азетидин-1-ил]-2,5-дифтор-N-[(1S)-2,2,2-трифтор-1-метилэтил]бензамид

Диэтилцианометилfosфонат (1,95 мл, 11,8 ммоль) по капле добавляли к охлажденному (в ледяной бане) раствору 1,0 M *трем-бутоксида калия* в ТГФ (11,8 мл, 11,8 ммоль), который разбавляли тетрагидрофураном (12 мл). Баню удаляли и реакционную смесь нагревали до комнатной температуры и перемешивали в течение 90 мин. Реакционный раствор снова охлаждали при помощи ледяной бани. Приготовленный ранее раствор затем добавляли в течение 12 мин к охлажденному (в ледяной бане) раствору 2,5-дифтор-4-(3-охоказетидин-1-ил)-N-[(1S)-2,2,2-трифтор-1-метилэтил]бензамида (4,00 г, 12,4 ммоль) в тетрагидрофуране (50 мл). Реакционную смесь перемешивали в

течение 30 мин. Ледяную баню удаляли и реакционную смесь перемешивали при комнатной температуре в течение суток, затем гасили путем добавления 20 % солевого раствора (75 мл) и этилацетата (75 мл). Органический слой отделяли. Водный слой экстрагировали этилацетатом (50 мл). Комбинированные органические слои высушивали над $MgSO_4$, фильтровали и концентрировали под сниженным давлением. Остаток очищали путем флэш-хроматографии на силикагелевой колонке с этилацетатом в смеси изомеров гексана (от 0 % до 30 %) для получения на выходе нужного продукта (2,6 г). 1H ЯМР (400 МГц, $DMSO-d_6$) δ 8,59 – 8,37 (м, 1H), 7,33 (дд, J = 12,5, 6,4 Гц, 1H), 6,59 (дд, J = 12,0, 7,4 Гц, 1H), 5,88 (м, 1H), 4,94 – 4,75 (м, 4H), 4,76 (м, 1H), 1,31 (д, J = 7,1 Гц, 3H) м.д., Расчет ЖХМС для $C_{15}H_{13}F_5N_3O$ ($M+1$) $^+$: m/z = 346,1; Обнаружено: 346,1.

Стадия 5: 4-[3-(Цианометил)-3-[4-(4,4,5,5-тетраметил-1,3,2-диоксаборолан-2-ил)-1H-пиразол-1-ил]азетидин-1-ил]-2,5-дифтор-N-[(1S)-2,2,2-трифтор-1-метилэтил]бензамид

Смесь 4-(4,4,5,5-тетраметил-1,3,2-диоксаборолан-2-ил)-1H-пиразола (1,00 г, 5,15 ммоль), 4-[3-(цианометилен)азетидин-1-ил]-2,5-дифтор-N-[(1S)-2,2,2-трифтор-1-метилэтил]бензамида (1,78 г, 5,15 ммоль) и 1,8-диазабицикло[5.4.0]ундец-7-ена (0,31 мл, 2,1 ммоль) в ацетонитриле (20,2 мл) нагревали при 50 °C в течение суток. После охлаждения растворитель удаляли под сниженным давлением. Остаток использовали на следующем стадии без дальнейшей очистки. Расчет ЖХМС для $C_{24}H_{28}BF_5N_5O_3$ ($M+1$) $^+$: m/z = 540,2; Обнаружено: 540,1.

Стадия 6: 4-[3-(Цианометил)-3-(3',5'-диметил-1H,1'H-4,4'-бипиразол-1-ил)азетидин-1-ил]-2,5-дифтор-N-[(1S)-2,2,2-трифтор-1-метилэтил]бензамид

Смесь 4-[3-(цианометил)-3-[4-(4,4,5,5-тетраметил-1,3,2-диоксаборолан-2-ил)-1H-пиразол-1-ил]азетидин-1-ил]-2,5-дифтор-N-[(1S)-2,2,2-трифтор-1-метилэтил]бензамида (329 мг, 0,610 ммоль), 4-бром-3,5-диметил-1H-пиразола (206 мг, 1,18 ммоль), тетракис(трифенилfosфин)палладия(0) (110 мг, 0,098 ммоль) и карбоната натрия (320 мг, 3,0 ммоль) в 1,4-диоксане (10 мл)/воде (5 мл) продували азотом и перемешивали при 110°C в течение 1 ч. Реакционную смесь разбавляли EtOAc, промывали водой и солевым раствором, концентрировали. Остаток очищали сначала силикагелем (с элюированием 0–100 % EtOAc / смесью изомеров гексана, а затем 10 % метанолом / дихлорметаном), а затем путем preparative ЖХМС (колонка XBridge C18, элюирование градиентом ацетонитрила / воды с содержанием 0,1 % гидроксида аммония при скорости потока 60 мл/мин) для получения нужного продукта (30 мг, 9,7 %). 1H ЯМР (500 МГц, $DMSO-d_6$) δ 12,17 (1H, с), 8,45 (1H, д, J = 8,0 Гц), 8,10 (1H, с), 7,70 (1H, с), 7,34 (1H, м), 6,61 (1H, с), 4,77 (1H, м), 4,62 (2H, д, J = 9,0 Гц), 4,39 (1H, д, J = 9,0 Гц), 3,64 (2H, с), 2,22 (6H, с), 1,31

(6Н, д, $J = 7,0$ Гц) м.д., Расчет ЖХМС для C₂₃H₂₃F₅N₇O (M+H)⁺: m/z = 508,2; Обнаружено: 508,0.

Пример А: *In vitro* анализ JAK киназы

Данные соединения испытывали на ингибиторную активность объектов JAK в соответствии со следующим *in vitro* анализом, описываемым в публикации Park *et al.*, *Analytical Biochemistry* **1999**, *269*, 94 - 104. Каталитические домены JAK1 человека (а.а. 837-1142), JAK2 (а.а. 828-1132) и JAK3 (а.а. 781-1124) экспрессировали с использованием бакуловируса в клетках насекомых и очищали. Каталитическую активность JAK1, JAK2 или JAK3 анализировали путем измерения фосфорилирования биотинилированного пептида. Фосфорилированный пептид обнаруживали при помощи гомогенной флуоресценции с временным разрешением (HTRF). Показатели IC₅₀ соединений измеряли для каждой киназы в 40 мкл реакционных смесей, которые содержали фермент, АТФ и 500 нМ пептида в 50 мМ Tris-буфера (pH 7,8) с 100 мМ NaCl, 5 мМ ДТТ и 0,1 мг/мл (0,01 %) БСА. Для измерений IC₅₀ 1 мМ концентрация АТФ в реакционных смесях составляла 1 мМ. Реакции осуществляли при комнатной температуре в течение 1 часа, а затем прекращали с использованием 20 мкл 45 мМ ЭДТА, 300 нМ SA-APC, 6 нМ Eu-Py20 в аналитическом буфере (Perkin Elmer, Boston, MA). Связывание с меченным европием антителом осуществляли в течение 40 минут и сигнал HTRF измеряли на устройстве для считывания планшетов PHERAstar (BMG, Cary, NC). Данные для ингибиторов JAK1 и/или JAK2 получали путем испытания соединения путем анализа согласно Примеру А при 1 мМ АТФ.

Пример В: сцинтилляционный анализ сближения PI3Kδ

Материалы

[γ -³³P]АТФ (10 мКи/мл) приобретали в компании Perkin–Elmer (Уолтем, Массачусетс). Субстрат липидкиназы, D-мио-fosfatидилинозит 4,5-бисфосфат (PtdIns(4,5)P₂)D (+)-sn-1,2-ди-O-октаноилглицерил, 3-O-фосфо-связанный (PIP2), CAS 204858-53-7, приобретали в компании Echelon Biosciences (Солт-Лейк-Сити, Юта). PI3Kδ (p110δ /p85α) приобретали в компании Millipore (Бедфорд, Массачусетс). АТФ, MgCl₂, ДТТ, ЭДТА, MOPS и CHAPS приобретали в компании Sigma–Aldrich (Сент-Луис, Миссури). Агглютинин из проростков пшеницы (WGA), YSi SPA сцинтилляционные шарики приобретали в компании GE Healthcare Life Sciences (Пискатауэй, Нью-Джерси).

Реакцию киназы проводили в белом полистироловом 384-луночном планшете от Thermo Fisher Scientific в конечном объеме 25 мкл. Ингибиторы сначала подвергали серийным разбавлениям в ДМСО и добавляли в лунки планшета перед добавлением других компонентов реакции. Конечная концентрация ДМСО в анализе составляла 0,5 %.

Анализы РІЗК осуществляли при комнатной температуре в 20 мМ MOPS, рН 6,7, 10 мМ MgCl₂, 5 мМ ДТТ и CHAPS 0,03 %. Реакции запускали путем добавления АТФ, конечная реакционная смесь состояла из 20 мкМ РІР2, 20 мкМ АТФ, 0,2 мкКи [γ -³³P] АТФ, 4 нМ РІЗКδ. Реакционные смеси инкубировали в течение 210 мин и реакцию прекращали путем добавления 40 мкл шариков SPA, супенсированных в гасящем буфере: 150 мМ фосфата калия, рН 8,0, 20 % глицерина, 25 мМ ЭДТА, 400 мкМ АТФ. Конечная концентрация шариков SPA составляла 1,0 мг/мл. После запечатывания планшеты взбалтыванию в течение суток при комнатной температуре и центрифугировали при 1800 об/мин в течение 10 минут, радиоактивность продукта определяли при помощи сцинтилляционного счета на Topcount (Perkin–Elmer). Определение IC₅₀ осуществляли путем корректировки кривой процентной контрольной активности по логарифму концентрации ингибитора с применением программы GraphPad Prism 3.0. Данные для ингибиторов РІЗКδ получали путем испытания соединений путем анализа согласно Примеру В.

Пример С: Модель Пфейффера для лимфомы

Способы:

Самкам мышей SCID (в возрасте от 5 до 8 недель, Charles River Laboratories, Уилмингтон, Массачусетс) инокулировали 1 × 10⁷ опухолевых клеток (Пфейффера, ATCC №CRL-2632, Манассас, Виргиния) и матригель (BD Biosciences №354234) в 0,2 мл стерильного солевого раствора. Инокуляцию осуществляли подкожно в бок. Фрагменты опухолевой ткани (около 3 мм × 3 мм) собирали через 3-6 недель после инокуляции культивированных клеток и подкожно имплантировали вместо клеточной инокуляции. Фрагменты ткани имплантировали в виде фрагментов солидной опухоли при помощи тупоконечных щипцов. Лечение мышей с опухолями начинали через 15-25 дней после инокуляции опухоли, в зависимости от размера опухоли. Животных сортировали для получения приблизительно равноценных средних объемов опухоли в каждой группе. Минимальный средний объем опухоли во всех группах составлял 150 мм³ в первый день лечения, и группы состояли из 7 животных. Экспериментальное терапевтическое средство согласно Примеру 347 вводили мышам перорально (РО). Частота лечения составляла 2 раза в день в течение как минимум 14 дней для обеспечения эффективности. Размер подкожных опухолей измеряли от 2 до 3 раз в неделю с применением цифрового штангенциркуля. Объем опухоли рассчитывали путем измерения опухоли в 2-х измерениях и с применением уравнения: объем = [длина × (ширина²)]/2; где большее число означало длину, и меньшее число означает ширину. Если образовывались множественные опухоли, конечный объем был суммой отдельных опухолей согласно тому же уравнению: например, для 2 опухолей объем = {[L1 × (W1)²]/2} + {[L2 ×

(W2)2]/2}. Воздействие на рост опухоли выражали как процент ингибирования роста опухоли (%TGI). Процент TGI рассчитывали по уравнению: (1- (Tx-объем / контр. объем))*100, где контрольный объем означал объем обрабатываемой основой или не обрабатываемой опухоли на данный день, и Tx-объем означал объем опухоли в любой экспериментальной группе на тот же день. Статистические различия между экспериментальными и контрольными группами определяли с применением ANOVA: однофакторный тест.

Результаты:

Соединение 32с (см. Таблицу 2 выше) оценивали как отдельный агент в модели Пфейффера с ксенотрансплантатом диффузной крупноклеточной В-клеточной лимфомы человека, подтип NHL. Раковые клетки Пфейффера оказались чувствительными к антитролиферативному эффекту согласно Примеру 347 *in vitro*. Таким образом, была установлена опухолевая модель на основе подкожной инокуляции опухолевых клеток в организм мышей SCID с ослабленным иммунитетом, и мыши с опухолью два раза в день получали пероральные дозы основы или Соединения 32с в количестве 0,3, 1, 3 или 10 мг/кг в течение 14 дней. Лечение Соединением 32с подавляло рост опухоли на 22 %, 24 %, 36 % и 58 % (процент ингибирования роста опухоли) с увеличением дозы.

Пример D. Вестерн-блот анализ

В представленном ниже вестерн-блот анализе использовали следующие материалы и способы. Клетки (5 миллионов) подвергали лизису в объеме 300 мкл лизисного буфера. Растворимые фракции собирали путем центрифугирования. 25 мкл лизата клеток загружали в трис-глициновые полиакриламидные гели и подвергали электрофорезу. Белки переносили в нитроцеллюлозную мембрану и испытывали антителами от Cell Signaling Technology на следующие белки: фосфо-Stat3 Y705, фосфо-Akt S473, pim1, pim2, pim3, c-myc, фосфо-p70S6K, phospho-S6, фосфо-Bad S112 и актин.

Пример Е. Уровень ИЛ6 и ИЛ10 в линиях клеток

Высокий уровень ИЛ6 и ИЛ10 наблюдали в различных линиях клеток DLBCL (ФИГ. 1А). ИЛ6 и ИЛ10 также продемонстрировали активацию сигнала JAK/STAT, причем ИЛ10 был более сильным активатором сигнала JAK/STAT по сравнению с ИЛ6 по всей панели линий клеток DLBCL (ФИГ. 1В). Высокий уровень ИЛ6 и ИЛ10 присутствует в сыворотке пациентов с DLBCL и коррелирует с более короткой бессобытийная выживаемостью и более высоким показателем Международного прогностического индекса.

Пример F. ИЛ10 придает клеткам Пфейффера резистентность к ингибированию Р1ЗКб, которая может быть обращена блокированием JAK1/2 или

JAK1

Анализ пролиферации клеток

Клетки диффузной крупноклеточной В-клеточной лимфомы высевали в количестве 2000 клеток/лунку в 96-луночные культуральные планшеты в отсутствие или в присутствии 10 нг/мл ИЛ10. Соединения добавляли к этим клеткам после разведения сначала в ДМСО, а затем в культуральной среде (4x концентрация). Клетки культивировали в инкубаторе в течение 3 дней с 5 % CO₂. Пролиферацию клеток определяли с применением анализа Cell Titer-Glow (Promega, Мадисон, Висконсин). Анализ пролиферации клеток осуществляли сначала на клетках Пфейффера (лимфома В-клеток зародышевого центра (GCB) - диффузная крупноклеточная В-клеточная лимфома (GCB-DLBCL)) и клетках HBL-1 (активированная В-клеточнооподобная (ABC) диффузная крупноклеточная В-клеточная лимфома (ABC-DLBCL)).

ФИГ. 2А показывает % ингибирования в анализе пролиферации клеток на клетках Пфейффера в зависимости от концентрации Соединения 28 (ингибитор PI3Kδ) с основой (ДМСО), ДМСО+ИЛ10 и ДМСО+ИЛ10+руксолитиниб (ингибитор JAK1/JAK2). ФИГ. 2В показывает % ингибирования в анализе пролиферации клеток на клетках Пфейффера в зависимости от концентрации Соединения 28 (ингибитор PI3Kδ) с основой (ДМСО), ДМСО+ИЛ10 и ДМСО+ИЛ10+Соединение 7 (селективный ингибитор JAK1). Результаты показывают, что ИЛ10 придает клеткам Пфейффера резистентность к ингибированию PI3Kδ, но эта резистентность может быть обращена путем блокирования сигнала JAK1 и/или JAK2. Таким образом, наблюдается синергетическое воздействие на пролиферацию клеток Пфейффера при применении ингибитора PI3Kδ и ингибитора JAK1 и JAK2 в комбинации. Синергизм также наблюдался без ИЛ10. При этой комбинации также наблюдалась индукция апоптоза.

Подобные результаты наблюдались в клетках HBL-1 при применении руксолитиниба. Соответственно, ФИГ. 3 показывает % ингибирования в анализе пролиферации клеток в клетках HBL-1 в зависимости от концентрации Соединения 28 (ингибитор PI3Kδ) с основой (ДМСО), ДМСО+ИЛ10 и ДМСО+ИЛ10+руксолитиниб (ингибитор JAK1/JAK2).

Пример G. Индуцированная ИЛ10 экспрессия Pim2 блокируется ингибитором JAK1/2

Клетки Пфейффера обрабатывали в течение 24 часов основой (ДМСО), руксолитинибом (18424), Соединением 28 или Соединением 28 и руксолитиниб (18424) с ИЛ10 или без него, а затем подвергали вестерн-блоттингу для испытания на следующие белки: фосфо-Stat3 Y705, фосфо-Akt S473, Pim2, c-Myc, фосфо-p70S6K, фосфо-S6, фосфо-

Bad S112 и актин. ФИГ. 4 показывает, что индуцированная ИЛ10 экспрессия Pim2 блокируется руксолитинибом (ингибитором JAK1/JAK2). ИЛ6 и ИЛ10 способствуют выживанию клеток через экспрессию Pim2, которая зависит от активности JAK1. ФИГ. 4 также показывает синергетическое снижение с-Myc и P-S6 при наличии комбинированного лечения Соединением 28 и руксолитинибом. Снижением белка с-Myc может быть обусловлен синергетический эффект для комбинированного лечения.

Пример Н. Индуцированная ИЛ10 экспрессия Pim2 блокируется селективным ингибитором JAK1

Клетки Пфейффера обрабатывали в течение 24 часов основой (ДМСО), Соединением 7, Соединением 28 или Соединением 28 и Соединением 7 с ИЛ10 или без него, а затем подвергали вестерн-блоттингу для испытания на следующие белки: фосфо-Stat3 Y705, фосфо-Akt S473, Pim2, с-Myc, фосфо-p70S6K, фосфо-S6, фосфо-Bad S112 и актин. ФИГ. 5 показывает, что ИЛ10-индуцированная экспрессия Pim2 блокируется селективным ингибитором JAK1 (Соединение 7).

Пример I. Повышение эффективности ингибитора Р1ЗКδ селективным ингибитором JAK1

Для испытания воздействия ИЛ-10 на рост клеток и чувствительность к ингибированию пути BCR использовали линию клеток Пфейффера в качестве модельной системы DLBCL. Клетки Пфейффера относятся к подтипу В-клеток зародышевого центра (GCB) DLBCL, продемонстрировали экспрессию Р1ЗКδ, являются чувствительными к ингибированию Р1ЗКδ и активируют путь JAK/STAT в ответ на множественные цитокины, как показано выше. Клетки Пфейффера обрабатывали в течение 3 дней различными концентрациями Соединения 28 в присутствии или в отсутствие ИЛ-10 и 1 мкМ Соединения 16 и рост клеток измеряли с применением считывания АТФ (см. Таблицу ниже). Как показано на ФИГ. 6, присутствие ИЛ-10 изменяло активность Соединения 28 в ~10 раз ($IC_{50}=0,67$ мкМ, - ИЛ-10; $IC_{50}=6,36$ мкМ, + ИЛ-10). Добавление ингибитора JAK1, Соединения 16, меняло этот эффект на обратный, и, таким образом, комбинация была в ~50 раз более активной. В этой системе лишь ингибитор JAK1 не оказывал воздействия ($IC_{50} > 1$ мкМ). Кроме того, как показано на ФИГ. 7 (на которой показано окрашивание Аннексином-V клеток Пфейффера, обрабатываемых в течение 3 дней в 10 % ФБС + ИЛ10; Соединение 16 испытывали при 1 мкМ), ингибирование Р1ЗКδ вместе с сигналом JAK1 приводило к повышенному апоптозу, тогда как ни один агент в отдельности не оказывал существенного воздействия.

	10 %ФБС+ИЛ10		
	Соединение 28	Соединение 16	Соединение 28+Соединение 16

IC_{50} (мкМ)	6,36	>1	0,035
-----------------	------	----	-------

Пример J. Воздействие комбинированной обработки JAK1 и PI3Kδ на фосфорилирование STAT3 и ингибирование pAkt

Для оценки воздействия на дальнейшие пути сигнала клетки Пфейффера обрабатывали Соединением 28 +/- Соединение 16 в течение 4 часов, а затем стимулировали ИЛ-10 в течение 15 минут. Экстракты анализировали путем вестерн-блоттинга на pAkt и pSTAT3. Как показано на ФИГ. 8, путь Akt конститтивно активировался в клетках Пфейффера. Блокирование сигнала PI3Kδ приводило к полному ингибированию pAkt, тогда как обработка ингибитором JAK1 не оказывала воздействия. В то же время, Соединение 16 приводило к ингибированию фосфорилирования STAT3, а ингибитор PI3Kδ не оказывал такого воздействия. Для блокирования обоих путей требовалась комбинация двух соединений.

Все упомянутые выше патенты, патентные публикации и журнальные статьи включаются в данное описание путем ссылки в их полном объеме.

Настоящее изобретение охватывает следующие аспекты.

1. Способ лечения миелофиброза у пациента, нуждающегося в этом, включающий введение указанному пациенту: (а) ингибитора JAK1/2 который представляет собой [3-[4-(7Н-пирроло[2,3-d]пирамидин-4-ил)-1Н-пиразол-1-ил]-3-циклопентилпропаннитрил или его фармацевтически приемлемую соль; и (б) ингибитора PI3Kδ; который представляет собой 4-{3-[1-(4-амино-3-метил-1Н-пиразоло[3,4-d]пирамидин-1-ил)этил]-5-хлор-2-этокси-6-фторфенил}пирролидин-2-он или его фармацевтически приемлемую соль.

2. Способ по п.1, где ингибитор JAK1/2 представляет собой фармацевтически приемлемую соль [3-[4-(7Н-пирроло[2,3-d]пирамидин-4-ил)-1Н-пиразол-1-ил]-3-циклопентилпропаннитрила.

3. Способ по п.1, где ингибитор JAK1/2 представляет собой соль [3-[4-(7Н-пирроло[2,3-d]пирамидин-4-ил)-1Н-пиразол-1-ил]-3-циклопентилпропаннитрила и фосфорной кислоты.

4. Способ по п. 1, отличающийся тем, что указанный ингибитор PI3Kδ выбран из:

(S)-4-(3-((S)-1-(4-амино-3-метил-1Н-пиразоло[3,4-d]пирамидин-1-ил)этил)-5-хлор-2-этокси-6-фторфенил)пирролидин-2-она;

(R)-4-(3-((S)-1-(4-амино-3-метил-1Н-пиразоло[3,4-d]пирамидин-1-ил)этил)-5-хлор-2-этокси-6-фторфенил)пирролидин-2-она;

(S)-4-(3-((R)-1-(4-амино-3-метил-1Н-пиразоло[3,4-d]пирамидин-1-ил)этил)-5-хлор-2-этокси-6-фторфенил)пирролидин-2-она; и

(R)-4-(3-((R)-1-(4-амино-3-метил-1Н-пиразоло[3,4-d]пирамидин-1-ил)этил)-5-хлор-

2-этокси-6-фторфенил)пирролидин-2-она;

или фармацевтически приемлемой соли любого вышеуказанного соединения.

5. Способ по п. 1, отличающийся тем, что ингибитор РІЗКб представляет собой (S)-4-(3-((S)-1-(4-амино-3-метил-1Н-пиразоло[3,4-d]пиrimидин-1-ил)этил)-5-хлор-2-этокси-6-фторфенил)пирролидин-2-она или его фармацевтически приемлемую соль.

6. Способ по п. 1, отличающийся тем, что ингибитор РІЗКб представляет собой (R)-4-(3-((S)-1-(4-амино-3-метил-1Н-пиразоло[3,4-d]пиrimидин-1-ил)этил)-5-хлор-2-этокси-6-фторфенил)пирролидин-2-он или его фармацевтически приемлемую соль.

7. Способ по п. 1, отличающийся тем, что ингибитор РІЗКб представляет собой (S)-4-(3-((R)-1-(4-амино-3-метил-1Н-пиразоло[3,4-d]пиrimидин-1-ил)этил)-5-хлор-2-этокси-6-фторфенил)пирролидин-2-он или его фармацевтически приемлемую соль.

8. Способ по п. 1, отличающийся тем, что указанный ингибитор РІЗКб представляет собой (R)-4-(3-((R)-1-(4-амино-3-метил-1Н-пиразоло[3,4-d]пиrimидин-1-ил)этил)-5-хлор-2-этокси-6-фторфенил)пирролидин-2-он или его фармацевтически приемлемую соль.

9. Способ по п.1, где указанный ингибитор JAK1/2 и указанный ингибитор РІЗКб вводят одновременно.

10. Способ по п.1, где указанный ингибитор JAK1/2 и указанный ингибитор РІЗКб вводят последовательно.

11. Способ лечения миелофиброза у пациента, нуждающегося в этом, включающий введение указанному пациенту: (а) ингибитора JAK1/2, который представляет собой (3R)-3-цикlopентил-3-[4-(7Н-пирроло[2,3-d]пиrimидин-4-ил)-1Н-пиразол-1-ил]пропаннитрил или его фармацевтически приемлемой соли и (б) ингибитора РІЗКб, который выбран из: (S)-4-(3-((S)-1-(4-амино-3-метил-1Н-пиразоло[3,4-d]пиrimидин-1-ил)этил)-5-хлор-2-этокси-6-фторфенил)пирролидин-2-она;

(R)-4-(3-((S)-1-(4-амино-3-метил-1Н-пиразоло[3,4-d]пиrimидин-1-ил)этил)-5-хлор-2-этокси-6-фторфенил)пирролидин-2-она;

(S)-4-(3-((R)-1-(4-амино-3-метил-1Н-пиразоло[3,4-d]пиrimидин-1-ил)этил)-5-хлор-2-этокси-6-фторфенил)пирролидин-2-она; и

(R)-4-(3-((R)-1-(4-амино-3-метил-1Н-пиразоло[3,4-d]пиrimидин-1-ил)этил)-5-хлор-2-этокси-6-фторфенил)пирролидин-2-она;

или фармацевтически приемлемой соли любого вышеуказанного соединения.

12. Способ по п. 11, отличающийся тем, что ингибитор РІЗКб представляет собой (S)-4-(3-((S)-1-(4-амино-3-метил-1Н-пиразоло[3,4-d]пиrimидин-1-ил)этил)-5-хлор-2-этокси-6-фторфенил)пирролидин-2-она или его фармацевтически приемлемую соль.

13. Способ по п. 11, отличающийся тем, что ингибитор РІЗКδ представляет собой (R)-4-(3-((S)-1-(4-амино-3-метил-1Н-пиразоло[3,4-d]пиримидин-1-ил)этил)-5-хлор-2-этокси-6-фторфенил)пирролидин-2-он или его фармацевтически приемлемую соль.

14. Способ по п.11, отличающийся тем, что ингибитор РІЗКδ представляет собой (S)-4-(3-((R)-1-(4-амино-3-метил-1Н-пиразоло[3,4-d]пиримидин-1-ил)этил)-5-хлор-2-этокси-6-фторфенил)пирролидин-2-он или его фармацевтически приемлемую соль.

15. Способ по п. 11, отличающийся тем, что ингибитор РІЗКδ представляет собой (R)-4-(3-((R)-1-(4-амино-3-метил-1Н-пиразоло[3,4-d]пиримидин-1-ил)этил)-5-хлор-2-этокси-6-фторфенил)пирролидин-2-он или его фармацевтически приемлемую соль.

16. Способ по п.11, где ингибитор JAK1/2 и ингибитор РІЗКδ вводят одновременно.

17. Способ по п.11, где указанный ингибитор JAK1/2 и указанный ингибитор РІЗКδ вводят последовательно.

18. Способ лечения миелофиброза у пациента, нуждающегося в этом, включающий введение указанному пациенту (а) ингибитора JAK1/2, который представляет собой соль (3R)-3-цикlopентил-3-[4-(7Н-пирроло[2,3-d]пиримидин-4-ил)-1Н-пиразол-1-ил]пропаннитрила и фосфорной кислоты и (б) ингибитора РІЗКδ, который выбран из:

(S)-4-(3-((S)-1-(4-амино-3-метил-1Н-пиразоло[3,4-d]пиримидин-1-ил)этил)-5-хлор-2-этокси-6-фторфенил)пирролидин-2-она;

(R)-4-(3-((S)-1-(4-амино-3-метил-1Н-пиразоло[3,4-d]пиримидин-1-ил)этил)-5-хлор-2-этокси-6-фторфенил)пирролидин-2-она;

(S)-4-(3-((R)-1-(4-амино-3-метил-1Н-пиразоло[3,4-d]пиримидин-1-ил)этил)-5-хлор-2-этокси-6-фторфенил)пирролидин-2-она; и

(R)-4-(3-((R)-1-(4-амино-3-метил-1Н-пиразоло[3,4-d]пиримидин-1-ил)этил)-5-хлор-2-этокси-6-фторфенил)пирролидин-2-она;

или фармацевтически приемлемой соли любого вышеуказанного соединения.

19. Способ по п. 18, отличающийся тем, что ингибитор РІЗКδ представляет собой (S)-4-(3-((S)-1-(4-амино-3-метил-1Н-пиразоло[3,4-d]пиримидин-1-ил)этил)-5-хлор-2-этокси-6-фторфенил)пирролидин-2-она или его фармацевтически приемлемую соль.

20. Способ по п. 18, отличающийся тем, что ингибитор РІЗКδ представляет собой (R)-4-(3-((S)-1-(4-амино-3-метил-1Н-пиразоло[3,4-d]пиримидин-1-ил)этил)-5-хлор-2-этокси-6-фторфенил)пирролидин-2-он или его фармацевтически приемлемую соль.

21. Способ по п.18, отличающийся тем, что ингибитор РІЗКδ представляет собой

(S)-4-((R)-1-(4-амино-3-метил-1Н-пиразоло[3,4-d]пиримидин-1-ил)этил)-5-хлор-2-этокси-6-фторфенил)пирролидин-2-он или его фармацевтически приемлемую соль.

22. Способ по п. 18, отличающийся тем, что ингибитор PI3K δ представляет собой (R)-4-((R)-1-(4-амино-3-метил-1Н-пиразоло[3,4-d]пиримидин-1-ил)этил)-5-хлор-2-этокси-6-фторфенил)пирролидин-2-он или его фармацевтически приемлемую соль.

23. Способ по п.18, где ингибитор JAK1/2 и ингибитор PI3K δ вводят одновременно.

24. Способ по п.18, где ингибитор JAK1/2 и ингибитор PI3K δ вводят последовательно.

ФОРМУЛА ИЗОБРЕТЕНИЯ

1. Способ лечения заболевания, выбранного из хронического лимфоцитарного лейкоза (CLL), неходжкинской лимфомы, лейкоза ворсистых клеток, лимфомы из клеток зоны мантии, мелкоклеточной лимфоцитарной лимфомы, фолликулярной лимфомы, лимфоплазмоцитарной лимфомы, экстраподальной лимфомы из клеток маргинальной зоны, лимфомы Ходжкина, лимфомы Беркитта, макроглобулинемии Вальденстрёма, пролимфоцитарного лейкоза, острого лимфобластного лейкоза, миелофиброза, лимфомы лимфатической ткани слизистых оболочек, медиастинальной крупноклеточной В-клеточной лимфомы, лимфоматоидного грануломатоза, лимфомы маргинальной зоны селезенки, первичной выпотной лимфомы, внутрисосудистой крупноклеточной В-клеточной лимфомы, плasmоклеточного лейкоза, экстрамедуллярной плазмацитомы, тлеющей миеломы и моноклональной гаммапатии неясного генеза (MGUS), у пациентов, которые в этом нуждаются, включающий введение пациенту: (а) ингибитора JAK1 и/или JAK2; и (б) ингибитора PI3Kδ; причем:

(а) указанный ингибитор JAK1 и/или JAK2 выбран из:

3-цикlopентил-3-[4-(7Н-пирроло[2,3-*d*]пиrimидин-4-ил)-1Н-пиразол-1-ил]пропаннитрила;

3-[1-(6-хлорпиридин-2-ил)пирролидин-3-ил]-3-[4-(7Н-пирроло[2,3-*d*]пиrimидин-4-ил)-1Н-пиразол-1-ил]пропаннитрила;

3-(1-[1,3]оксазоло[5,4-*b*]пиридин-2-илпирролидин-3-ил)-3-[4-(7Н-пирроло[2,3-*d*]пиrimидин-4-ил)-1Н-пиразол-1-ил]пропаннитрила;

4-[(4-{3-циано-2-[4-(7Н-пирроло[2,3-*d*]пиrimидин-4-ил)-1Н-пиразол-1-ил]пропил}пиперазин-1-ил)карбонил]-3-фторбензонитрила;

4-[(4-{3-циано-2-[3-(7Н-пирроло[2,3-*d*]пиrimидин-4-ил)-1Н-пиразол-1-ил]пропил}пиперазин-1-ил)карбонил]-3-фторбензонитрила;

{1-{1-[3-Фтор-2-(трифторметил)изоникотиноил]пиперидин-4-ил}-3-[4-(7Н-пирроло[2,3-*d*]пиrimидин-4-ил)-1Н-пиразол-1-ил]азетидин-3-ил}ацетонитрила;

4-{3-(цианометил)-3-[4-(7Н-пирроло[2,3-*d*]пиrimидин-4-ил)-1Н-пиразол-1-ил]азетидин-1-ил}-N-[4-фтор-2-(трифторметил)фенил]пиперидин-1-карбоксамида;

[3-[4-(7Н-пирроло[2,3-*d*]пиrimидин-4-ил)-1Н-пиразол-1-ил]-1-(1-{[2-(трифторметил)пиrimидин-4-ил]карбонил}пиперидин-4-ил)азетидин-3-ил]ацетонитрила;

[*транс*-1-[4-(7Н-пирроло[2,3-*d*]пиrimидин-4-ил)-1Н-пиразол-1-ил]-3-(4-{[2-(трифторметил)пиrimидин-4-ил]карбонил}пиперазин-1-ил)цикlobутил]ацетонитрила;

{*транс*-3-(4-{[4-(3-гидроксиазетидин-1-ил)метил]-6-(трифторметил)пиридин-2-ил]окси}пиперидин-1-ил)-1-[4-(7Н-пирроло[2,3-*d*]пиrimидин-4-ил)-1Н-пиразол-1-

ил]цикlobутил}ацетонитрила;

{*транс*-3-(4-{[4-{[(2S)-2-(гидроксиметил)пирролидин-1-ил]метил}-6-(трифторметил)пиридин-2-ил]окси}пиперидин-1-ил)-1-[4-(7Н-пирроло[2,3-d]пиrimидин-4-ил)-1Н-пиразол-1-ил]цикlobутил}ацетонитрила;

{*транс*-3-(4-{[4-{[(2R)-2-(гидроксиметил)пирролидин-1-ил]метил}-6-(трифторметил)пиридин-2-ил]окси}пиперидин-1-ил)-1-[4-(7Н-пирроло[2,3-d]пиrimидин-4-ил)-1Н-пиразол-1-ил]цикlobутил}ацетонитрила;

4-(4-{3-[(диметиламино)метил]-5-фторфенокси}пиперидин-1-ил)-3-[4-(7Н-пирроло[2,3-d]пиrimидин-4-ил)-1Н-пиразол-1-ил]бутаннитрила;

5-{3-(цианометил)-3-[4-(7Н-пирроло[2,3-d]пиrimидин-4-ил)-1Н-пиразол-1-ил]азетидин-1-ил}-N-изопропилпиразин-2-карбоксамида;

4-{3-(цианометил)-3-[4-(7Н-пирроло[2,3-d]пиrimидин-4-ил)-1Н-пиразол-1-ил]азетидин-1-ил}-2,5-дифтор-N-[(1S)-2,2,2-трифторметил]бензамида;

5-{3-(цианометил)-3-[4-(1Н-пирроло[2,3-b]пиридин-4-ил)-1Н-пиразол-1-ил]азетидин-1-ил}-N-изопропилпиразин-2-карбоксамида;

{1-(*cis*-4-{[6-(2-гидроксиэтил)-2-(трифторметил)пиrimидин-4-ил]окси}циклогексил)-3-[4-(7Н-пирроло[2,3-d]пиrimидин-4-ил)-1Н-пиразол-1-ил]азетидин-3-ил}ацетонитрила;

{1-(*cis*-4-{[4-[(этиламино)метил]-6-(трифторметил)пиридин-2-ил]окси}циклогексил)-3-[4-(7Н-пирроло[2,3-d]пиrimидин-4-ил)-1Н-пиразол-1-ил]азетидин-3-ил}ацетонитрила;

{1-(*cis*-4-{[4-(1-гидрокси-1-метилэтил)-6-(трифторметил)пиридин-2-ил]окси}циклогексил)-3-[4-(7Н-пирроло[2,3-d]пиrimидин-4-ил)-1Н-пиразол-1-ил]азетидин-3-ил}ацетонитрила;

{1-(*cis*-4-{[4-{[(3R)-3-гидроксипирролидин-1-ил]метил}-6-(трифторметил)пиридин-2-ил]окси}циклогексил)-3-[4-(7Н-пирроло[2,3-d]пиrimидин-4-ил)-1Н-пиразол-1-ил]азетидин-3-ил}ацетонитрила;

{1-(*cis*-4-{[4-{[(3S)-3-гидроксипирролидин-1-ил]метил}-6-(трифторметил)пиридин-2-ил]окси}циклогексил)-3-[4-(7Н-пирроло[2,3-d]пиrimидин-4-ил)-1Н-пиразол-1-ил]азетидин-3-ил}ацетонитрила;

{*транс*-3-(4-{[4-{[(1S)-2-гидрокси-1-метилэтил]амино}метил}-6-(трифторметил)пиридин-2-ил]окси}пиперидин-1-ил)-1-[4-(7Н-пирроло[2,3-d]пиrimидин-4-ил)-1Н-пиразол-1-ил]цикlobутил}ацетонитрила;

{*транс*-3-(4-{[4-{[(2R)-2-гидроксипропил]амино}метил}-6-(трифторметил)пиридин-2-ил]окси}пиперидин-1-ил)-1-[4-(7Н-пирроло[2,3-d]пиrimидин-

4-ил)-1Н-пиразол-1-ил]циклобутил}ацетонитрила;
 {*транс*-3-(4-{[4-({[(2S)-2-гидроксипропил]амино}метил)-6-(трифторметил)пиридин-2-ил]окси}пиперидин-1-ил)-1-[4-(7Н-пирроло[2,3-d]пиrimидин-4-ил)-1Н-пиразол-1-ил]циклобутил}ацетонитрила;
 {*транс*-3-(4-{[4-(2-гидроксиэтил)-6-(трифторметил)пиридин-2-ил]окси}пиперидин-1-ил)-1-[4-(7Н-пирроло[2,3-d]пиrimидин-4-ил)-1Н-пиразол-1-ил]циклобутил}ацетонитрила;
 ((2R,5S)-5-{2-[(1R)-1-гидроксиэтил]-1Н-имидаzo[4,5-d]тиено[3,2-b]пиридин-1-ил}тетрагидро-2Н-пиран-2-ил)ацетонитрила;
 4-[3-(цианометил)-3-(3',5'-диметил-1Н,1'Н-4,4'-бипиразол-1-ил)азетидин-1-ил]-2,5-дифтор-N-[(1S)-2,2,2-трифтор-1-метилэтил]бензамида;
 и фармацевтически приемлемых солей любого вышеуказанного соединения; и
 (b) указанный ингибитор РІЗКδ выбран из:
 7-(1-(9Н-пурин-6-иламино)этил)-6-(3-фторфенил)-3-метил-5Н-тиазоло[3,2-a]пиrimидин-5-она;
 (S)-7-(1-(9Н-пурин-6-иламино)этил)-6-(3-фторфенил)-3-метил-5Н-тиазоло[3,2-a]пиrimидин-5-она;
 4-[1-(4-амино-3-метил-1Н-пиразоло[3,4-d]пиrimидин-1-ил)этил]-6-хлор-2-{1-[(2S)-2-гидроксипропил]азетидин-3-ил}-3-метоксибензонитрила;
 4-[1-(4-амино-3-метил-1Н-пиразоло[3,4-d]пиrimидин-1-ил)этил]-6-хлор-2-[1-(2-гидроксиэтил)азетидин-3-ил]-3-метоксибензонитрила;
 5-{3-[1-(4-амино-3-метил-1Н-пиразоло[3,4-d]пиrimидин-1-ил)этил]-6-циано-2-этокси-5-метилфенил}-N,N-диметилпиридин-2-карбоксамида;
 4-{3-[1-(4-амино-3-метил-1Н-пиразоло[3,4-d]пиrimидин-1-ил)этил]-5-хлор-2-этокси-6-фторфенил}пирролидин-2-она; и
 N-{1-[5-хлор-8-(3-фторфенил)циннолин-7-ил]этил}-9Н-пурин-6-амина;
 4-хлор-3'-фтор-3-метил-6-[1-(9Н-пурин-6-иламино)этил]бифенил-2-карбонитрила;
 и фармацевтически приемлемых солей любого вышеуказанного соединения.

2. Способ по п. 1, отличающийся тем, что указанный ингибитор JAK1 и/или JAK2 выбран из:

(R)-3-[1-(6-хлорпиридин-2-ил)пирролидин-3-ил]-3-[4-(7Н-пирроло[2,3-d]пиrimидин-4-ил)-1Н-пиразол-1-ил]пропаннитрила;
 (R)-3-(1-[1,3]оксазоло[5,4-b]пиридин-2-илпирролидин-3-ил)-3-[4-(7Н-пирроло[2,3-d]пиrimидин-4-ил)-1Н-пиразол-1-ил]пропаннитрила;
 (R)-4-[(4-{3-циано-2-[4-(7Н-пирроло[2,3-d]пиrimидин-4-ил)-1Н-пиразол-1-

ил]пропил}пiperазин-1-ил)карбонил]-3-фторбензонитрила;

(R)-4-[(4-{3-циано-2-[3-(7Н-пирроло[2,3-d]пиrimидин-4-ил)-1Н-пиррол-1-ил]пропил}пiperазин-1-ил)карбонил]-3-фторбензонитрила;

(R)-4-(4-{3-[(диметиламино)метил]-5-фторфенокси}пiperидин-1-ил)-3-[4-(7Н-пирроло[2,3-d]пиrimидин-4-ил)-1Н-пиразол-1-ил]бутаннитрила;

(S)-3-[1-(6-хлорпиридин-2-ил)пирролидин-3-ил]-3-[4-(7Н-пирроло[2,3-d]пиrimидин-4-ил)-1Н-пиразол-1-ил]пропаннитрила;

(S)-3-(1-[1,3]оксазоло[5,4-b]пиридин-2-илпирролидин-3-ил)-3-[4-(7Н-пирроло[2,3-d]пиrimидин-4-ил)-1Н-пиразол-1-ил]пропаннитрила;

(S)-4-[(4-{3-циано-2-[4-(7Н-пирроло[2,3-d]пиrimидин-4-ил)-1Н-пиразол-1-ил]пропил}пiperазин-1-ил)карбонил]-3-фторбензонитрила;

(S)-4-[(4-{3-циано-2-[3-(7Н-пирроло[2,3-d]пиrimидин-4-ил)-1Н-пиррол-1-ил]пропил}пiperазин-1-ил)карбонил]-3-фторбензонитрила;

(S)-4-(4-{3-[(диметиламино)метил]-5-фторфенокси}пiperидин-1-ил)-3-[4-(7Н-пирроло[2,3-d]пиrimидин-4-ил)-1Н-пиразол-1-ил]бутаннитрила;

и фармацевтически приемлемых солей любого вышеуказанного соединения.

3. Способ по п. 1, отличающийся тем, что указанный ингибитор JAK1 и/или JAK2 представляет собой (3R)-3-цикlopентил-3-[4-(7Н-пирроло[2,3-d]пиrimидин-4-ил)-1Н-пиразол-1-ил]пропаннитрил или его фармацевтически приемлемую соль.

4. Способ по п. 1, отличающийся тем, что указанный ингибитор JAK1 и/или JAK2 представляет собой соль (3R)-3-цикlopентил-3-[4-(7Н-пирроло[2,3-d]пиrimидин-4-ил)-1Н-пиразол-1-ил]пропаннитрила и фосфорной кислоты.

5. Способ по п. 1, отличающийся тем, что указанный ингибитор JAK1 и/или JAK2 представляет собой {1-{1-[3-фтор-2-(трифторметил)изоникотиноил]пiperидин-4-ил}-3-[4-(7Н-пирроло[2,3-d]пиrimидин-4-ил)-1Н-пиразол-1-ил]азетидин-3-ил}ацетонитрил или его фармацевтически приемлемую соль.

6. Способ по п. 1, отличающийся тем, что указанный ингибитор JAK1 и/или JAK2 представляет собой {1-{1-[3-фтор-2-(трифторметил)изоникотиноил]пiperидин-4-ил}-3-[4-(7Н-пирроло[2,3-d]пиrimидин-4-ил)-1Н-пиразол-1-ил]азетидин-3-ил}ацетонитрила и адипиновой кислоты.

7. Способ по п. 1, отличающийся тем, что указанный ингибитор JAK1 и/или JAK2 представляет собой 4-{3-(цианометил)-3-[4-(7Н-пирроло[2,3-d]пиrimидин-4-ил)-1Н-пиразол-1-ил]азетидин-1-ил}-2,5-дифтор-N-[(1S)-2,2,2-трифторметилэтил]бензамид или его фармацевтически приемлемую соль.

8. Способ по п. 1, отличающийся тем, что указанный ингибитор Р13Кδ выбран

из:

(S)-4-((S)-1-(4-амино-3-метил-1Н-пиразоло[3,4-d]пиrimидин-1-ил)этил)-5-хлор-2-этокси-6-фторфенил)пирролидин-2-она;

(R)-4-((S)-1-(4-амино-3-метил-1Н-пиразоло[3,4-d]пиrimидин-1-ил)этил)-5-хлор-2-этокси-6-фторфенил)пирролидин-2-она;

(S)-4-((R)-1-(4-амино-3-метил-1Н-пиразоло[3,4-d]пиrimидин-1-ил)этил)-5-хлор-2-этокси-6-фторфенил)пирролидин-2-она;

(R)-4-((R)-1-(4-амино-3-метил-1Н-пиразоло[3,4-d]пиrimидин-1-ил)этил)-5-хлор-2-этокси-6-фторфенил)пирролидин-2-она;

(N-{(1S)-1-[5-хлор-8-(3-фторфенил)циннолин-7-ил]этил}-9Н-пурин-6-амина;

и фармацевтически приемлемых солей любого вышеуказанного соединения.

9. Способ по п. 1, отличающийся тем, что указанный ингибитор РІЗКδ представляет собой (S)-7-(1-(9Н-пурин-6-иламино)этил)-6-(3-фторфенил)-3-метил-5Н-тиазоло[3,2-a]пиrimидин-5-он или его фармацевтически приемлемую соль.

10. Способ по п. 1, отличающийся тем, что указанный ингибитор РІЗКδ представляет собой 4-[1-(4-амино-3-метил-1Н-пиразоло[3,4-d]пиrimидин-1-ил)этил]-6-хлор-2-[1-(2-гидроксиэтил)азетидин-3-ил]-3-метоксибензонитрил или его фармацевтически приемлемую соль.

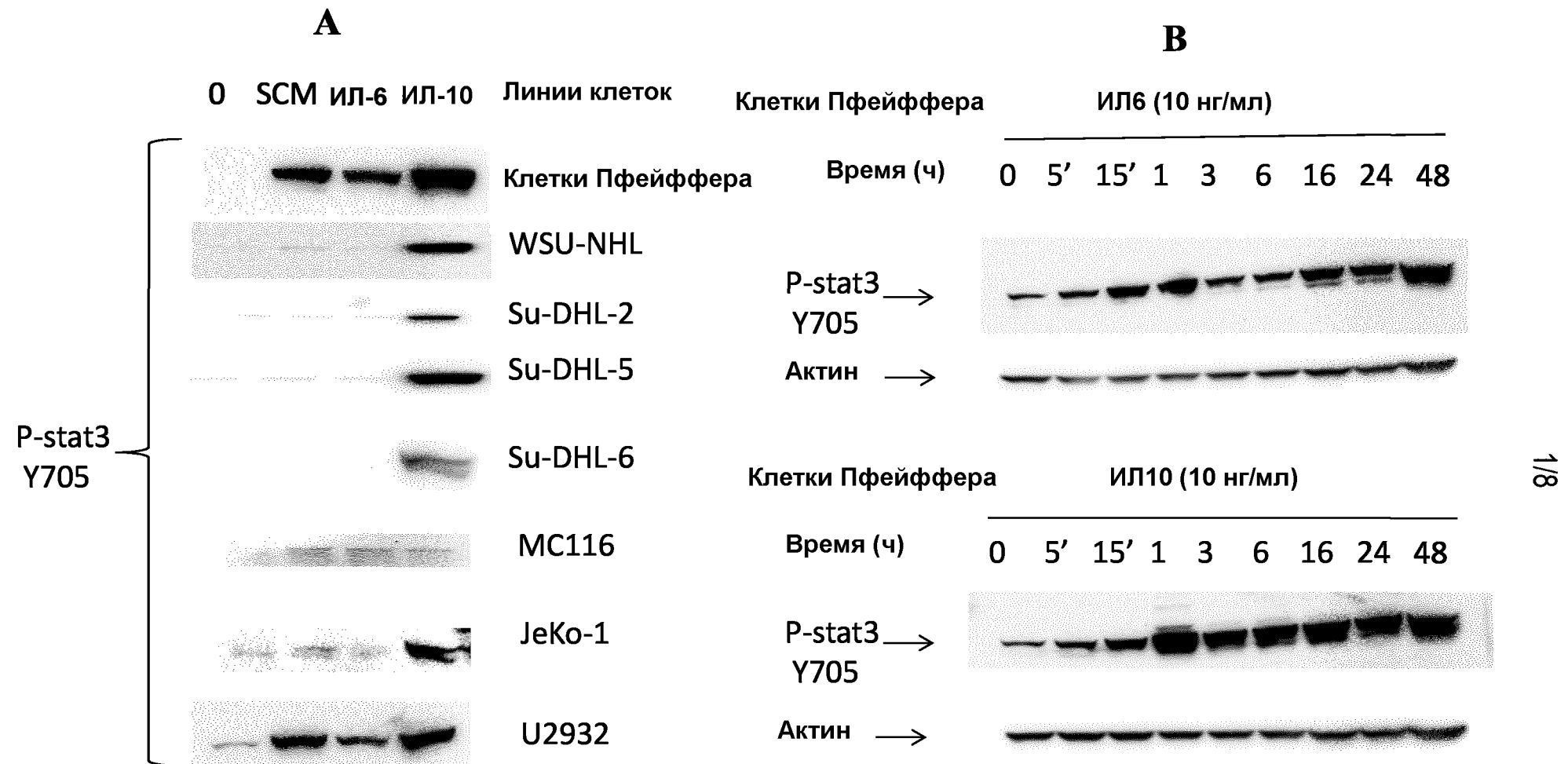
11. Способ по п. 1, отличающийся тем, что указанный ингибитор РІЗКδ представляет собой 5-{3-[1-(4-амино-3-метил-1Н-пиразоло[3,4-d]пиrimидин-1-ил)этил]-6-циано-2-этокси-5-метилфенил}-N,N-диметилпиридин-2-карбоксамид или его фармацевтически приемлемую соль.

12. Способ по п. 1, отличающийся тем, что указанный ингибитор РІЗКδ представляет собой (N-{(1S)-1-[5-хлор-8-(3-фторфенил)циннолин-7-ил]этил}-9Н-пурин-6-амин или его фармацевтически приемлемую соль.

13. Способ по п. 1, отличающийся тем, что указанный ингибитор JAK1 и/или JAK2 и указанный ингибитор РІЗКδ вводят одновременно.

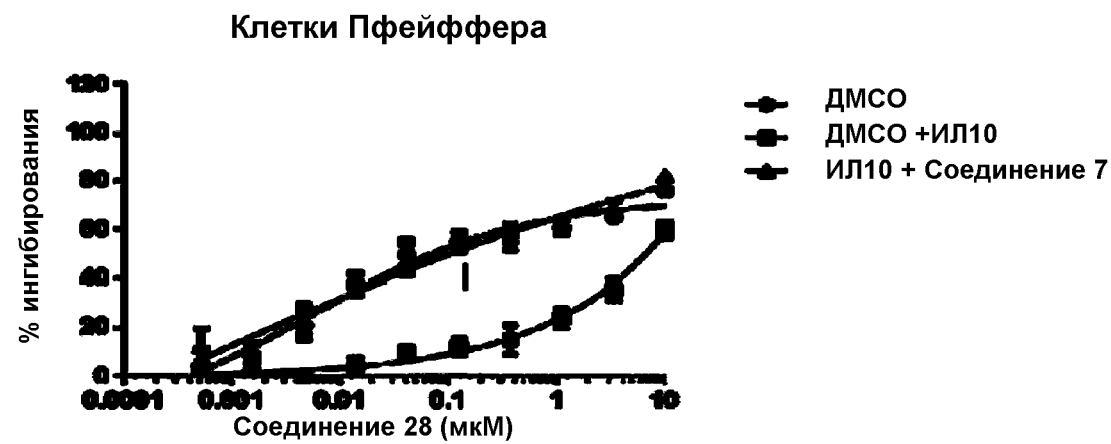
14. Способ по п. 1, отличающийся тем, что указанный ингибитор JAK1 и/или JAK2 и указанный ингибитор РІЗКδ вводят последовательно.

По доверенности

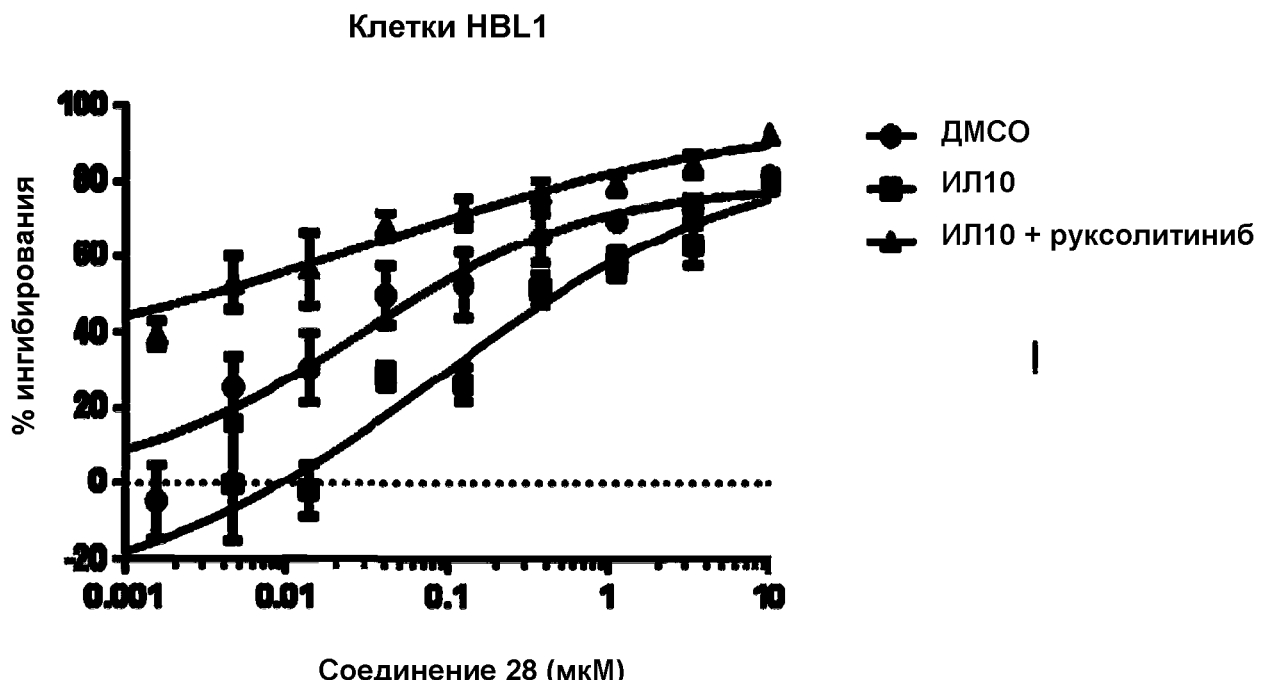


ФИГ. 1

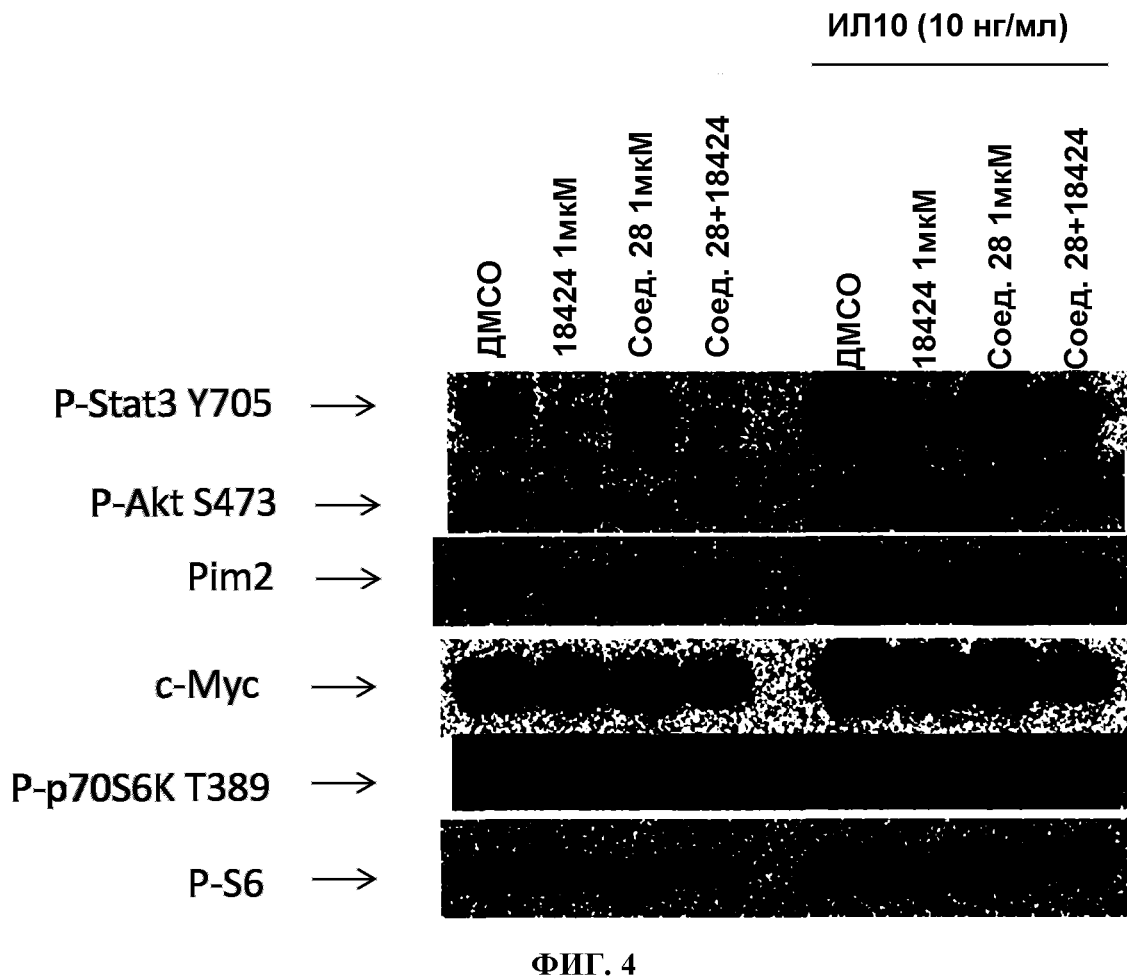
579081

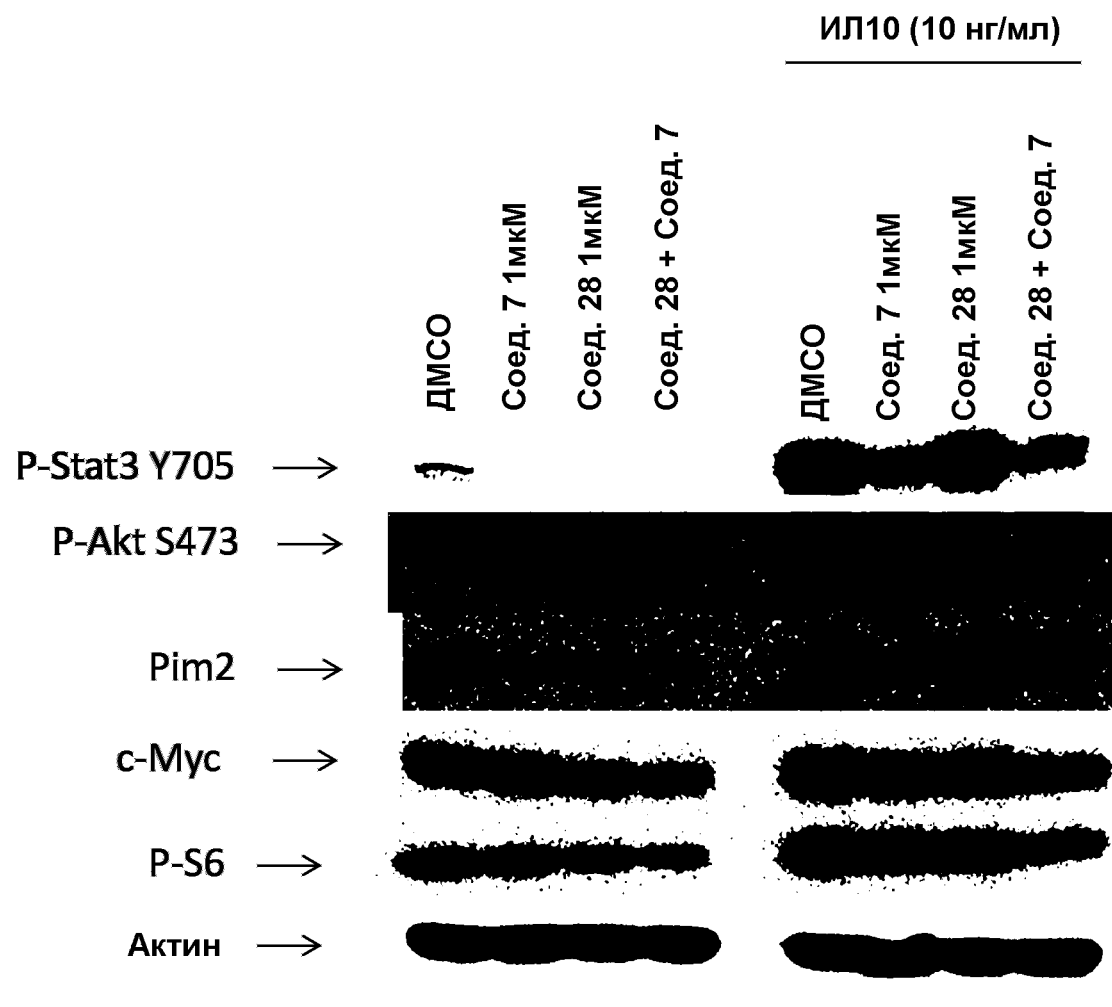
A**В**

ФИГ. 2

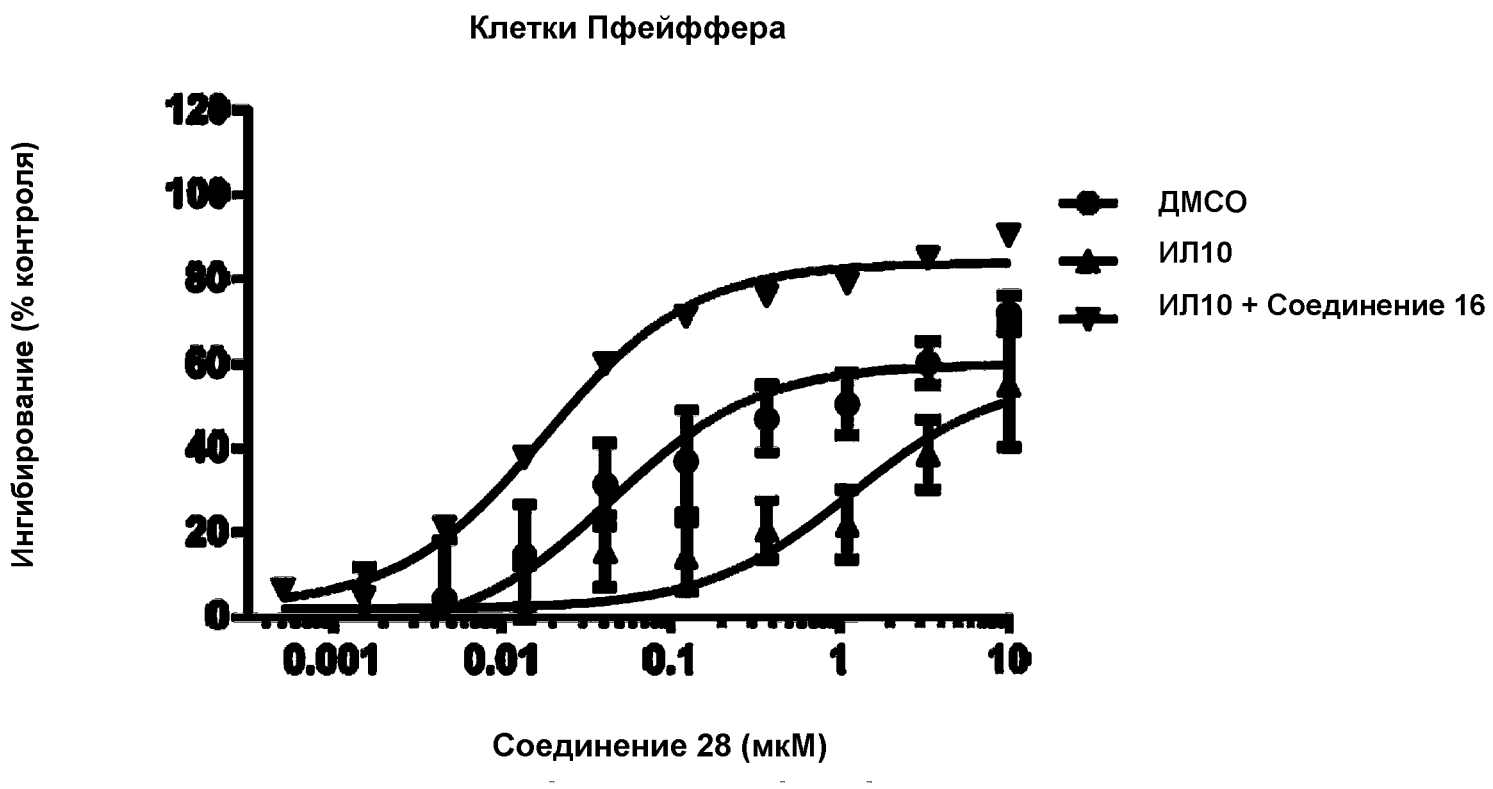


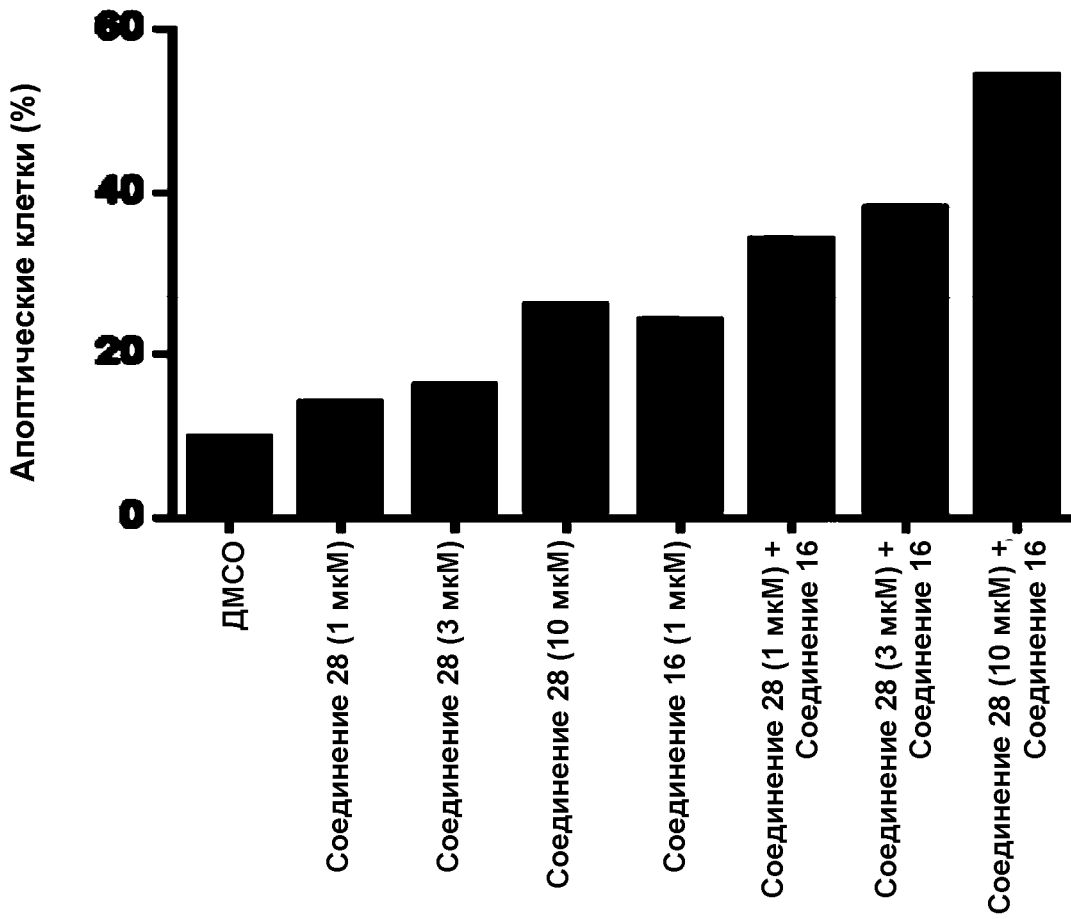
ФИГ. 3





ФИГ. 5





ФИГ. 7

ИЛ10 (10 нг/мл)

P-Stat3 →

P-Akt →

- Соединение 16 +
- Соединение 28
- Соединение 16 +
- Соединение 28

ФИГ. 8

PATENT COOPERATION TREATY

PCT

INTERNATIONAL SEARCH REPORT

(PCT Article 18 and Rules 43 and 44)

Applicant's or agent's file reference 20443-340WO1	FOR FURTHER ACTION see Form PCT/ISA/220 as well as, where applicable, item 5 below.	
International application No. PCT/US2015/024676	International filing date (<i>day/month/year</i>) 7 April 2015 (07-04-2015)	(Earliest) Priority Date (<i>day/month/year</i>) 8 April 2014 (08-04-2014)
Applicant INCYTE CORPORATION		

This international search report has been prepared by this International Searching Authority and is transmitted to the applicant according to Article 18. A copy is being transmitted to the International Bureau.

This international search report consists of a total of 7 sheets.

It is also accompanied by a copy of each prior art document cited in this report.

1. **Basis of the report**

- a. With regard to the **language**, the international search was carried out on the basis of:

the international application in the language in which it was filed
 a translation of the international application into _____, which is the language of a translation furnished for the purposes of international search (Rules 12.3(a) and 23.1(b))

- b. This international search report has been established taking into account the **rectification of an obvious mistake** authorized by or notified to this Authority under Rule 91 (Rule 43.6bis(a)).
c. With regard to any **nucleotide and/or amino acid sequence** disclosed in the international application, see Box No. I.

2. **Certain claims were found unsearchable** (See Box No. II)

3. **Unity of invention is lacking** (see Box No III)

4. With regard to the **title**,

the text is approved as submitted by the applicant
 the text has been established by this Authority to read as follows:

5. With regard to the **abstract**,

the text is approved as submitted by the applicant
 the text has been established, according to Rule 38.2, by this Authority as it appears in Box No. IV. The applicant may, within one month from the date of mailing of this international search report, submit comments to this Authority

6. With regard to the **drawings**,

- a. the figure of the **drawings** to be published with the abstract is Figure No. 1a

as suggested by the applicant
 as selected by this Authority, because the applicant failed to suggest a figure
 as selected by this Authority, because this figure better characterizes the invention

- b. none of the figures is to be published with the abstract

INTERNATIONAL SEARCH REPORT

International application No
PCT/US2015/024676

A. CLASSIFICATION OF SUBJECT MATTER

INV. A61K31/397 A61K31/437 A61K31/502 A61K31/519 A61P35/00
A61P35/02

ADD.

According to International Patent Classification (IPC) or to both national classification and IPC

B. FIELDS SEARCHED

Minimum documentation searched (classification system followed by classification symbols)

A61K A61P

Documentation searched other than minimum documentation to the extent that such documents are included in the fields searched

Electronic data base consulted during the international search (name of data base and, where practicable, search terms used)

EPO-Internal, WPI Data, EMBASE

C. DOCUMENTS CONSIDERED TO BE RELEVANT

Category*	Citation of document, with indication, where appropriate, of the relevant passages	Relevant to claim No.
Y	S. L. MAUDE ET AL: "Targeting JAK1/2 and mTOR in murine xenograft models of Ph-like acute lymphoblastic leukemia", BLOOD, vol. 120, no. 17, 25 October 2012 (2012-10-25), pages 3510-3518, XP055193765, ISSN: 0006-4971, DOI: 10.1182/blood-2012-03-415448 the whole document -----	1-12,15, 16
Y	WO 2013/023119 A1 (NOVARTIS PHARMA AG [CH]; INCYTE CORP [US]) 14 February 2013 (2013-02-14) the whole document page 3, paragraph 1 - page 1, paragraph 1 ----- -/-	1-12,15, 16

Further documents are listed in the continuation of Box C.

See patent family annex.

* Special categories of cited documents :

"A" document defining the general state of the art which is not considered to be of particular relevance

"E" earlier application or patent but published on or after the international filing date

"L" document which may throw doubts on priority claim(s) or which is cited to establish the publication date of another citation or other special reason (as specified)

"O" document referring to an oral disclosure, use, exhibition or other means

"P" document published prior to the international filing date but later than the priority date claimed

"T" later document published after the international filing date or priority date and not in conflict with the application but cited to understand the principle or theory underlying the invention

"X" document of particular relevance; the claimed invention cannot be considered novel or cannot be considered to involve an inventive step when the document is taken alone

"Y" document of particular relevance; the claimed invention cannot be considered to involve an inventive step when the document is combined with one or more other such documents, such combination being obvious to a person skilled in the art

"&" document member of the same patent family

Date of the actual completion of the international search	Date of mailing of the international search report
9 June 2015	15/06/2015

Name and mailing address of the ISA/
European Patent Office, P.B. 5818 Patentlaan 2
NL - 2280 HV Rijswijk
Tel. (+31-70) 340-2040,
Fax: (+31-70) 340-3046

Authorized officer

Jakobs, Andreas

INTERNATIONAL SEARCH REPORT

International application No PCT/US2015/024676

C(Continuation). DOCUMENTS CONSIDERED TO BE RELEVANT

Category*	Citation of document, with indication, where appropriate, of the relevant passages	Relevant to claim No.
Y	COSTANZA BOGANI ET AL: "mTOR Inhibitors Alone and in Combination with JAK2 Inhibitors Effectively Inhibit Cells of Myeloproliferative Neoplasms", PLOS ONE, vol. 8, no. 1, 31 January 2013 (2013-01-31), page e54826, XP055139435, DOI: 10.1371/journal.pone.0054826 the whole document -----	1-12,15, 16
Y	W. FISKUS ET AL: "Dual PI3K/AKT/mTOR Inhibitor BEZ235 Synergistically Enhances the Activity of JAK2 Inhibitor against Cultured and Primary Human Myeloproliferative Neoplasm Cells", MOLECULAR CANCER THERAPEUTICS, vol. 12, no. 5, 27 February 2013 (2013-02-27), pages 577-588, XP055193767, ISSN: 1535-7163, DOI: 10.1158/1535-7163.MCT-12-0862 the whole document -----	1-12,15, 16
Y	US 2010/298334 A1 (RODGERS JAMES D [US] ET AL) 25 November 2010 (2010-11-25) the whole document examples 2,13c -----	1,2,15, 16
Y	US 2011/224190 A1 (HUANG TAISHENG [US] ET AL) 15 September 2011 (2011-09-15) cited in the application the whole document paragraph [0267] -----	1,2,5,6, 15,16
Y	WO 2012/068450 A1 (INCYTE CORP [US]; RODGERS JAMES D [US]; SHEPARD STACEY [US]; ZHU WENYU) 24 May 2012 (2012-05-24) the whole document page 22 - page 26 -----	1,2,15, 16
Y	US 2011/059951 A1 (RODGERS JAMES D [US] ET AL) 10 March 2011 (2011-03-10) cited in the application the whole document -----	1,2,15, 16
Y	WO 2012/177606 A1 (INCYTE CORP [US]; YAO WENQING [US]; BURNS DAVID M [US]; ZHUO JINCONG []) 27 December 2012 (2012-12-27) the whole document claim 32 -----	1,7,15, 16
		-/-

INTERNATIONAL SEARCH REPORT

International application No PCT/US2015/024676

C(Continuation). DOCUMENTS CONSIDERED TO BE RELEVANT

Category*	Citation of document, with indication, where appropriate, of the relevant passages	Relevant to claim No.
Y	US 2013/059835 A1 (LI YUN-LONG [US] ET AL) 7 March 2013 (2013-03-07) cited in the application the whole document paragraph [0470] paragraph [0345] ----- WO 2011/075630 A1 (INCYTE CORP [US]; LI YUN-LONG [US]; COMBS ANDREW P [US]; YUE EDDY W [U]) 23 June 2011 (2011-06-23) the whole document page 20, line 14 ----- WO 2011/008487 A1 (INCYTE CORP [US]; LI YUN-LONG [US]; METCALF BRIAN W [US]; COMBS ANDREW) 20 January 2011 (2011-01-20) the whole document example 15 ----- WO 2013/072392 A1 (NOVARTIS FORSCHUNGSSTIFTUNG [CH]; BENTIRES-ALJ MOHAMED [FR]; BRITSCHGI) 23 May 2013 (2013-05-23) the whole document ----- BARTALUCCI N ET AL: "Co-targeting the P13k/mTOR and JAK2 signalling pathways produced synergistic activity against myeloproliferative neoplasms", JOURNAL OF CELLULAR AND MOLECULAR MEDICINE, UNIVERSITY PRESS CAROL DAVILA, BUCHAREST, RO, vol. 17, no. 11, 1 November 2013 (2013-11-01), pages 1385-1396, XP002736663, ISSN: 1582-1838, DOI: 10.1111/JCMM.12162 [retrieved on 2013-11-17] the whole document -----	1,8,10, 11,15,16 1,8,12, 15,16 1,9,15, 16 1-12,15, 16 1-12,15, 16

INTERNATIONAL SEARCH REPORT

Information on patent family members

International application No

PCT/US2015/024676

Patent document cited in search report		Publication date		Patent family member(s)		Publication date
WO 2013023119	A1	14-02-2013	CA	2844507 A1		14-02-2013
			EP	2741747 A1		18-06-2014
			HK	1198579 A1		30-04-2015
			JP	2014521725 A		28-08-2014
			US	2013040973 A1		14-02-2013
			WO	2013023119 A1		14-02-2013
<hr/>						
US 2010298334	A1	25-11-2010	AR	076794 A1		06-07-2011
			AU	2010249380 A1		08-12-2011
			CA	2762174 A1		25-11-2010
			CN	102458581 A		16-05-2012
			CO	6440524 A2		15-05-2012
			CR	20110620 A		02-02-2012
			EA	201171454 A1		29-06-2012
			EP	2432555 A1		28-03-2012
			ES	2487542 T3		21-08-2014
			JP	2012527483 A		08-11-2012
			KR	20120034665 A		12-04-2012
			NZ	596479 A		31-01-2014
			SG	176130 A1		29-12-2011
			TW	201100429 A		01-01-2011
			US	2010298334 A1		25-11-2010
			US	2014221379 A1		07-08-2014
			WO	2010135650 A1		25-11-2010
<hr/>						
US 2011224190	A1	15-09-2011	AR	081315 A1		08-08-2012
			AU	2011224484 A1		27-09-2012
			CA	2792508 A1		15-09-2011
			CL	2012002501 A1		14-12-2012
			CN	102985417 A		20-03-2013
			CO	6602158 A2		18-01-2013
			CR	20120510 A		11-01-2013
			EA	201290894 A1		30-04-2013
			EC	SP12012218 A		30-11-2012
			EP	2545045 A1		16-01-2013
			JP	2013522214 A		13-06-2013
			KR	20130038834 A		18-04-2013
			NZ	602313 A		29-08-2014
			PE	00382013 A1		28-01-2013
			SG	183551 A1		30-10-2012
			TW	201206923 A		16-02-2012
			US	2011224190 A1		15-09-2011
			US	2014275031 A1		18-09-2014
			WO	2011112662 A1		15-09-2011
<hr/>						
WO 2012068450	A1	24-05-2012	AR	083933 A1		10-04-2013
			AU	2011329734 A1		02-05-2013
			CA	2818542 A1		24-05-2012
			CL	2013001412 A1		20-12-2013
			CN	103415515 A		27-11-2013
			CO	6761386 A2		30-09-2013
			CR	20130280 A		09-08-2013
			EA	201390736 A1		29-11-2013
			EC	SP13012703 A		30-08-2013
			EP	2640723 A1		25-09-2013
			JP	2014500260 A		09-01-2014
			KR	20140019300 A		14-02-2014
			PE	01462014 A1		06-02-2014

INTERNATIONAL SEARCH REPORT

Information on patent family members

International application No

PCT/US2015/024676

Patent document cited in search report	Publication date	Patent family member(s)	Publication date
		SG 190839 A1 TW 201249845 A US 2012149681 A1 US 2015087632 A1 WO 2012068450 A1	31-07-2013 16-12-2012 14-06-2012 26-03-2015 24-05-2012
US 2011059951 A1	10-03-2011	AR 078012 A1 TW 201113285 A US 2011059951 A1 WO 2011028685 A1	05-10-2011 16-04-2011 10-03-2011 10-03-2011
WO 2012177606 A1	27-12-2012	AR 086983 A1 AU 2012273164 A1 CA 2839767 A1 CN 103797010 A CO 6821966 A2 CR 20130668 A EA 201490042 A1 EC SP14013148 A EP 2721028 A1 HK 1197056 A1 JP 2014520146 A KR 20140040819 A PE 08322014 A1 TW 201311686 A US 2013018034 A1 US 2014171409 A1 WO 2012177606 A1	05-02-2014 02-05-2013 27-12-2012 14-05-2014 31-12-2013 31-03-2014 31-03-2015 23-04-2014 02-01-2015 21-08-2014 03-04-2014 14-07-2014 16-03-2013 17-01-2013 19-06-2014 27-12-2012
US 2013059835 A1	07-03-2013	AR 087760 A1 AU 2012301721 A1 CA 2846652 A1 CL 2014000517 A1 CN 104024253 A CO 6910199 A2 CR 20140111 A EA 201490541 A1 EC SP14013274 A EP 2751109 A1 JP 2014527959 A KR 20140082680 A PE 17262014 A1 TW 201313715 A US 2013059835 A1 WO 2013033569 A1	16-04-2014 20-03-2014 07-03-2013 22-08-2014 03-09-2014 31-03-2014 10-06-2014 29-08-2014 30-04-2014 09-07-2014 23-10-2014 02-07-2014 26-11-2014 01-04-2013 07-03-2013 07-03-2013
WO 2011075630 A1	23-06-2011	AR 079529 A1 TW 201130842 A US 2011183985 A1 WO 2011075630 A1	01-02-2012 16-09-2011 28-07-2011 23-06-2011
WO 2011008487 A1	20-01-2011	AR 077280 A1 AU 2010273816 A1 CA 2766100 A1 CN 102482278 A CO 6440529 A2 CR 20110686 A DK 2448938 T3	17-08-2011 19-01-2012 20-01-2011 30-05-2012 15-05-2012 22-03-2012 25-08-2014

INTERNATIONAL SEARCH REPORT

Information on patent family members

International application No

PCT/US2015/024676

Patent document cited in search report	Publication date	Patent family member(s)	Publication date
		EA 201270100 A1	30-07-2012
		EP 2448938 A1	09-05-2012
		EP 2845856 A1	11-03-2015
		ES 2486715 T3	19-08-2014
		HR P20140754 T1	24-10-2014
		JP 5677425 B2	25-02-2015
		JP 2012532131 A	13-12-2012
		JP 2015042673 A	05-03-2015
		KR 20120047924 A	14-05-2012
		NZ 597050 A	28-02-2014
		PE 04932012 A1	20-05-2012
		PT 2448938 E	31-07-2014
		SG 177384 A1	28-02-2012
		SI 2448938 T1	29-08-2014
		SM T201400116 B	10-11-2014
		TW 201113283 A	16-04-2011
		US 2011015212 A1	20-01-2011
		US 2014121222 A1	01-05-2014
		WO 2011008487 A1	20-01-2011
<hr/>			
WO 2013072392 A1	23-05-2013	AU 2012338869 A1	05-06-2014
		CA 2855619 A1	23-05-2013
		CN 103945850 A	23-07-2014
		EP 2780017 A1	24-09-2014
		HK 1197020 A1	02-01-2015
		JP 2014533294 A	11-12-2014
		KR 20140091695 A	22-07-2014
		US 2014343128 A1	20-11-2014
		WO 2013072392 A1	23-05-2013
<hr/>			